

9. Anhang

9.1. Abwasserteichanlage Söllichau



Bild 9-1: Absetzteich und Zufluß der Abwasserteichanlage Söllichau



Bild 9-2: Nachklärteich mit Wasserlinsen, Abwasserteichanlage Söllichau

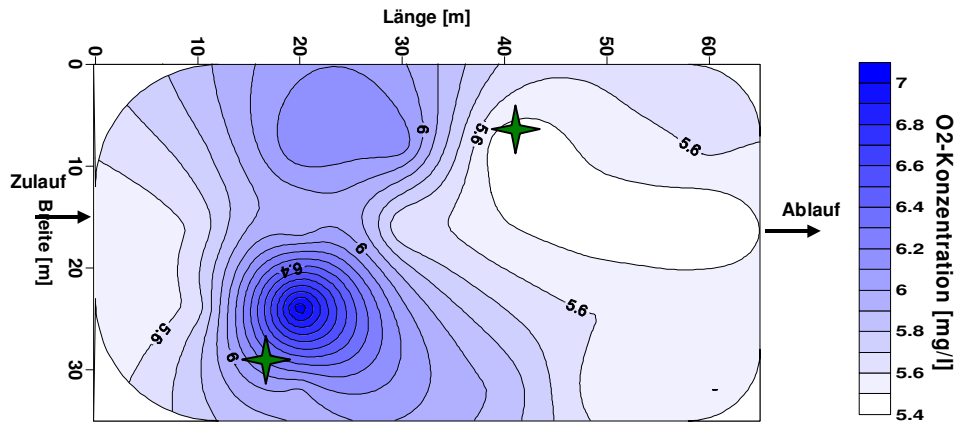


Bild 9-3: Sauerstoffverteilung in 10 cm Tiefe im belüfteten Teich der Abwasserteichanlage Söllichau (Messung am 15.10.2002)

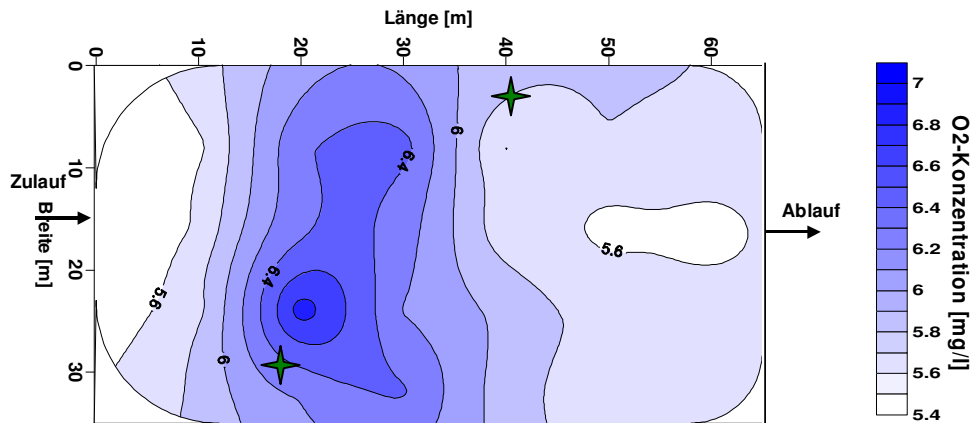


Bild 9-4: Sauerstoffverteilung im Mittel über 50 cm und 100 cm Tiefe im belüfteten Teich der Abwasserteichanlage Söllichau (Messung am 15.10.2002)

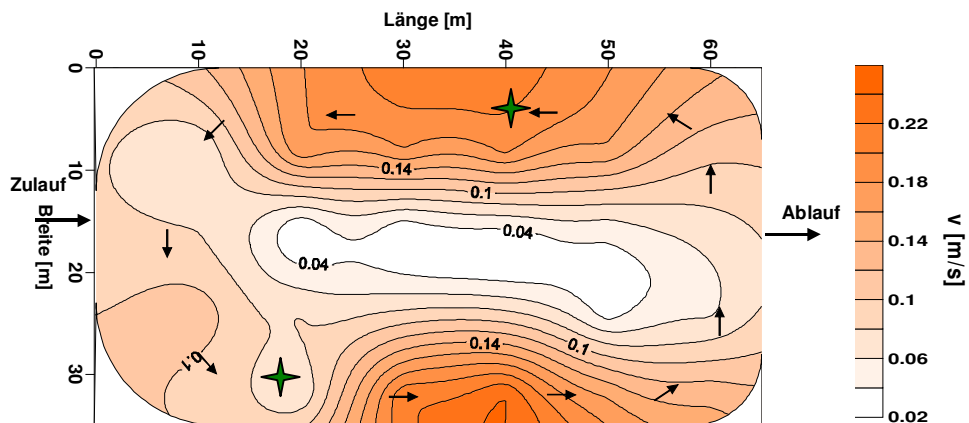


Bild 9-5: Fließgeschwindigkeitsverteilung im Mittel über 10 cm und 100 cm Tiefe im belüfteten Teich der Abwasserteichanlage Söllichau (Messung am 15.10.2002)

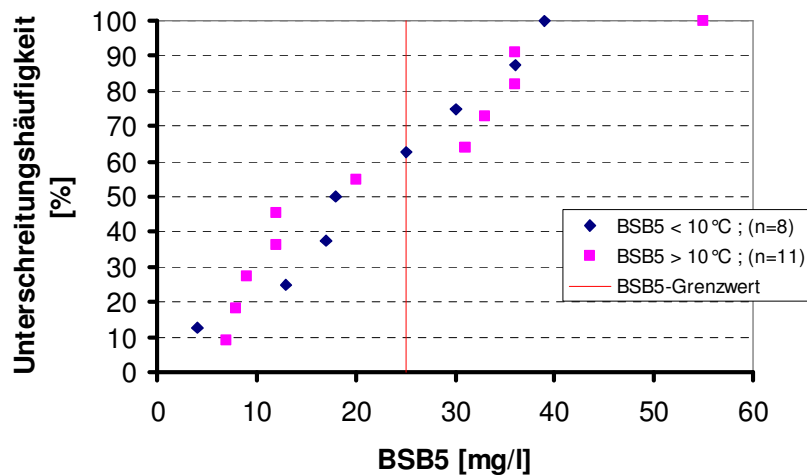


Bild 9-6: Unterschreitungshäufigkeit der BSB₅-Ablaufwerte in Abhängigkeit von der Temperatur, Anlage Söllichau, 2001

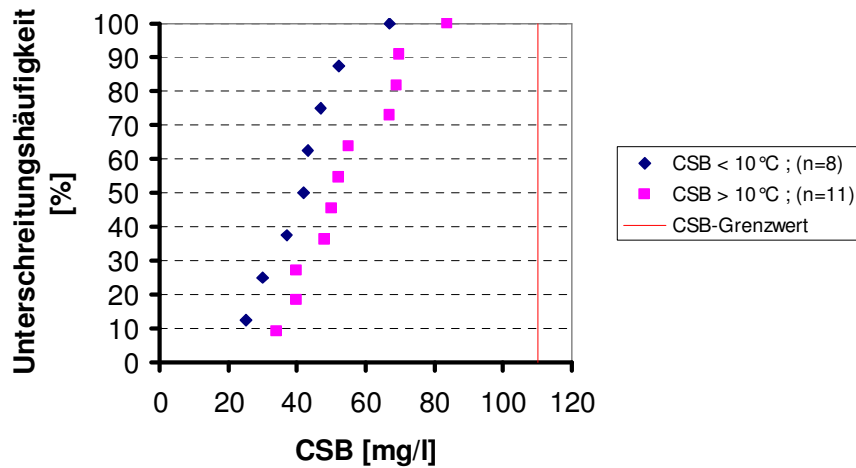


Bild 9-7: Unterschreitungshäufigkeit der CSB-Ablaufwerte in Abhängigkeit von der Temperatur, Anlage Söllichau, 2001

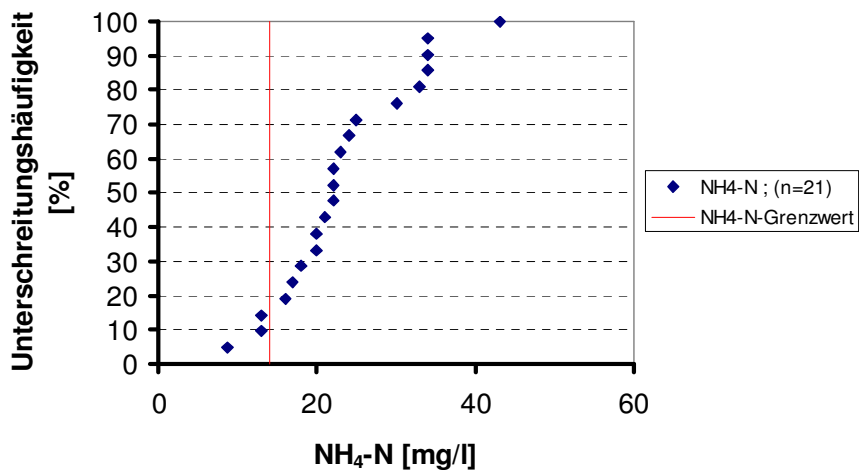


Bild 9-8: Unterschreitungshäufigkeit der NH₄-N-Ablaufwerte, Anlage Söllichau, 2001

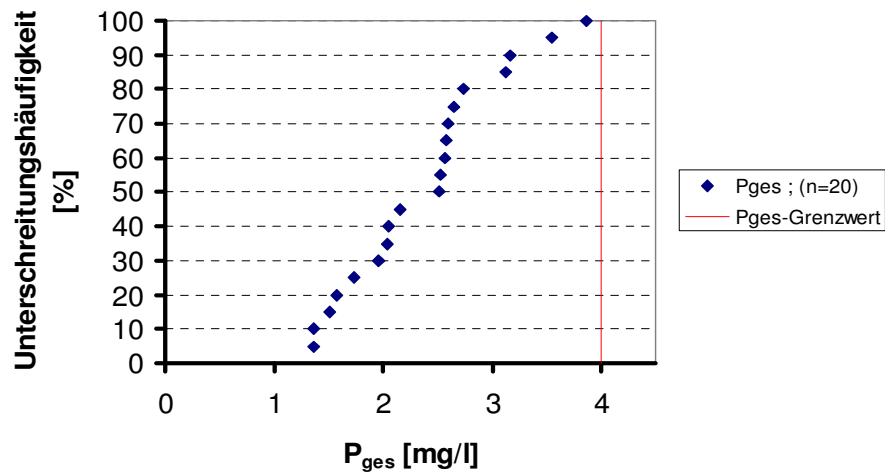
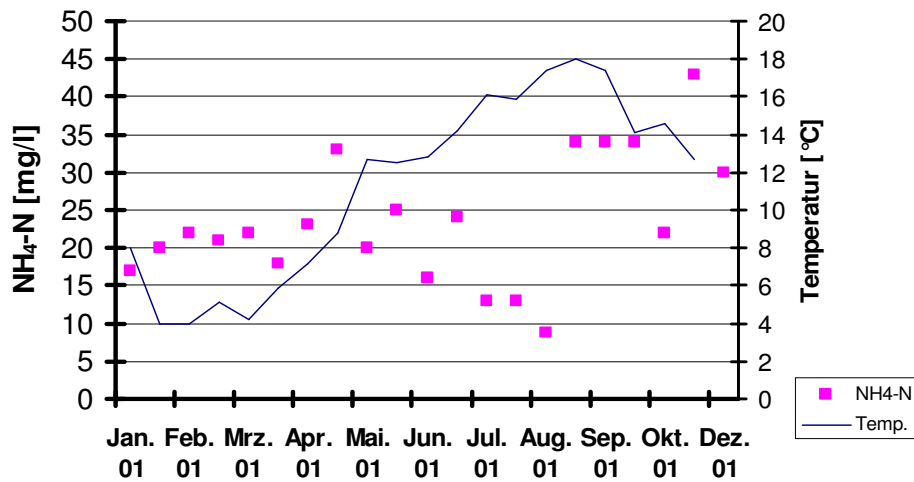
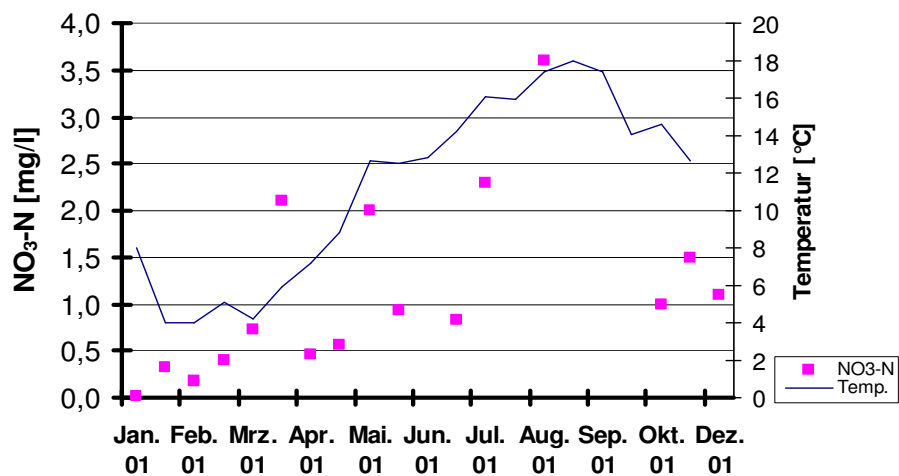


Bild 9-9: Unterschreitungshäufigkeit der P-Ablaufwerte, Anlage Söllichau, 2001


 Bild 9-10: Verlauf der NH₄-N-Ablaufwerte in Abhängigkeit von der Temperatur, Anlage Söllichau, 2001

 Bild 9-11: Verlauf der NO₃-N-Ablaufwerte in Abhängigkeit von der Temperatur, Anlage Söllichau, 2001

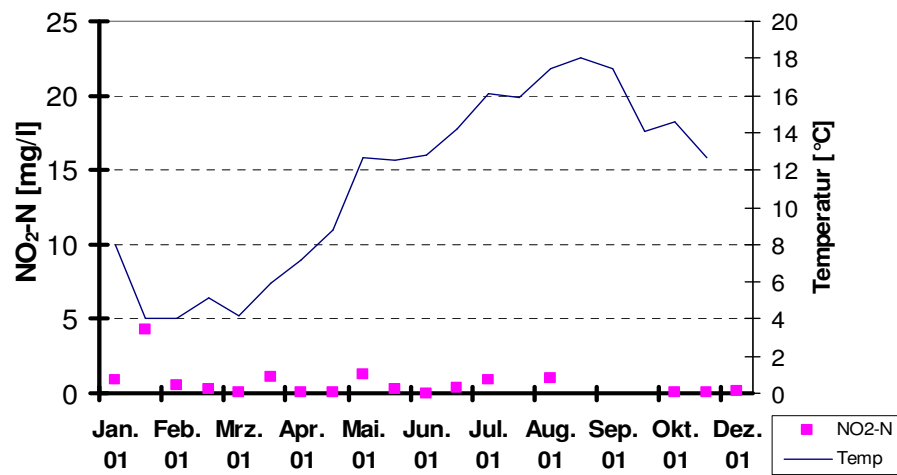


Bild 9-12: Verlauf der NO₂-N-Ablaufwerte in Abhängigkeit von der Temperatur, Anlage Söllichau 2001

9.2. Abwasserteichanlage Heiligenthal



Bild 9-13: Belüfteter Teich der Abwasserteichanlage Heiligenthal



Bild 9-14: Zulauffahrte des unbelüfteten Teiches der Abwasserteichanlage Heiligenthal



Bild 9-15: Blick auf den 3., nicht in die Abwasserreinigung einbezogenen Teich in Heiligenthal

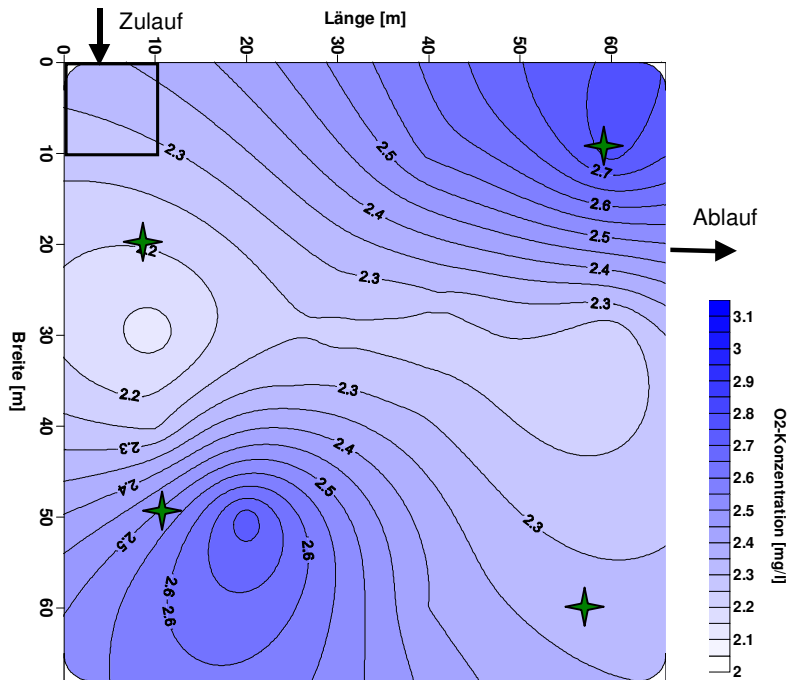


Bild 9-16: Sauerstoffverteilung in 10 cm Tiefe im belüfteten Teich der Abwasserteichanlage Heiligenthal (Messung am 16.10.2002)

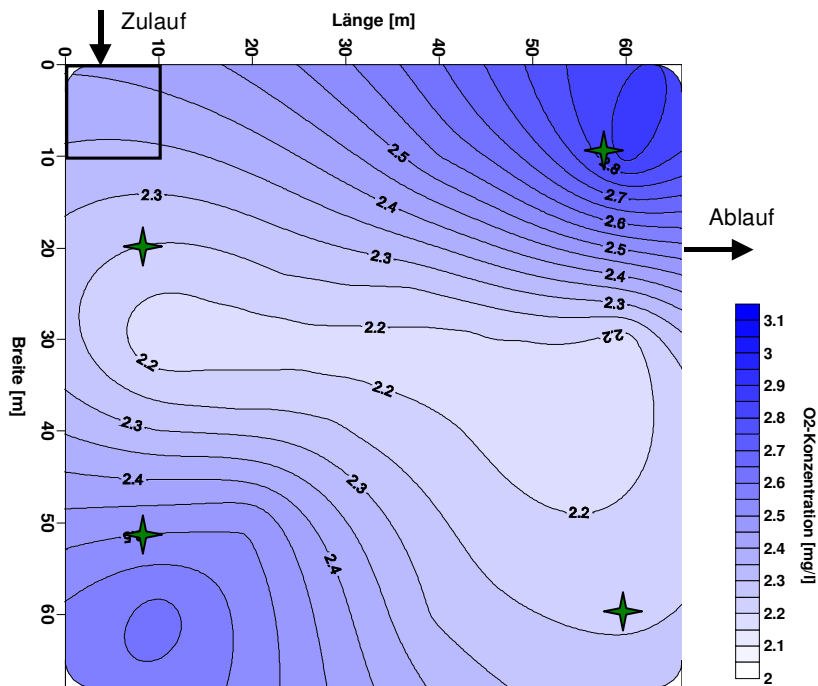


Bild 9-17: Sauerstoffverteilung in 50 cm Tiefe im belüfteten Teich der Abwasserteichanlage Heiligenthal (Messung am 16.10.2002)

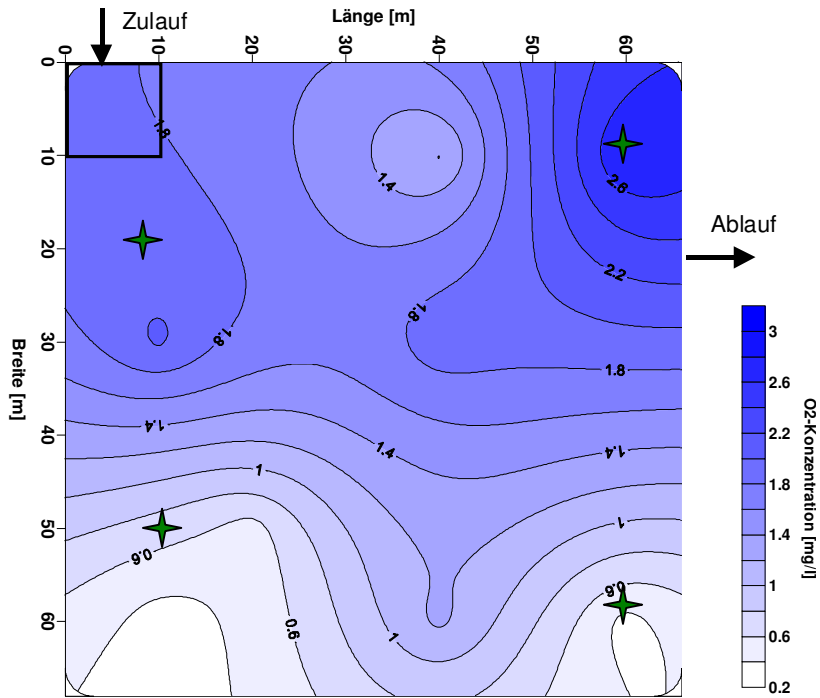


Bild 9-18: Sauerstoffverteilung in 100 cm Tiefe im belüfteten Teich der Abwasserteichanlage Heiligenthal (Messung am 16.10.2002)

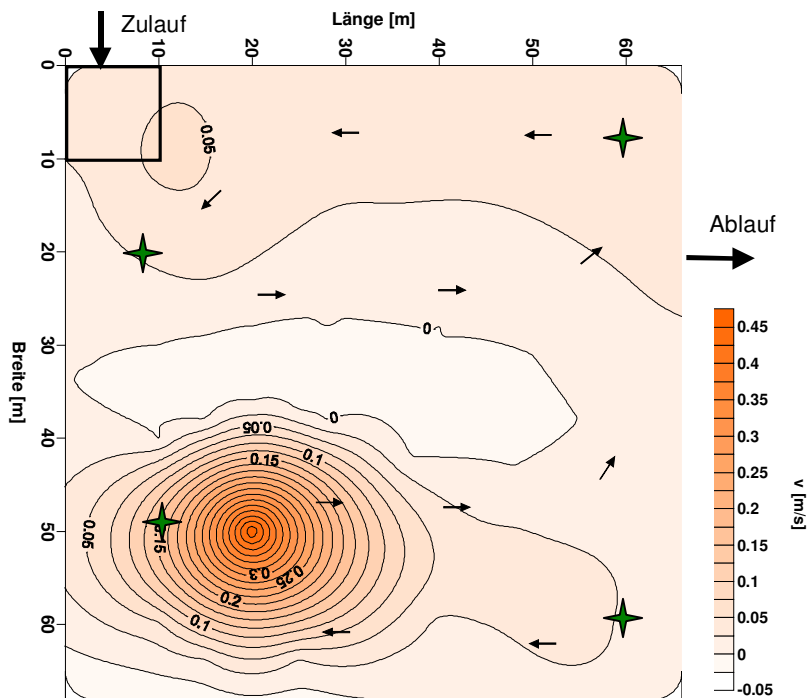


Bild 9-19: Fließgeschwindigkeitsverteilung im Mittel von 10 cm bis 100 cm Tiefe im belüfteten Teich der Abwasserteichanlage Heiligenthal (Messung am 16.10.2002)

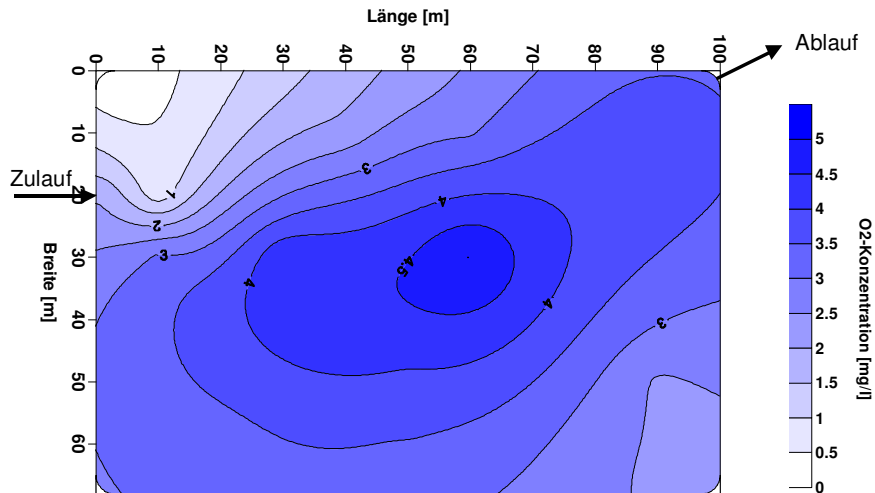


Bild 9-20: Sauerstoffverteilung in 10 cm Tiefe im unbelüfteten Teich der Abwasserteichanlage Heiligenthal (Messung am 16.10.2002)

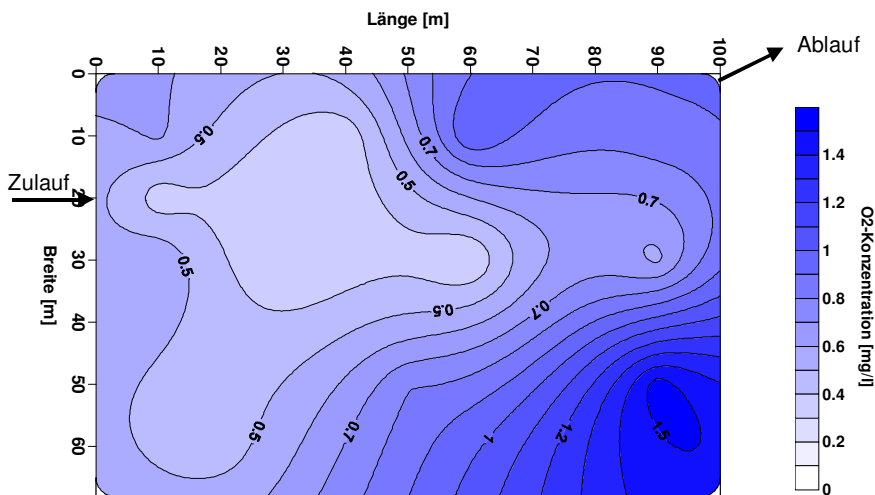


Bild 9-21: Sauerstoffverteilung im Mittel von 50 cm und 100 cm Tiefe im unbelüfteten Teich der Abwasserteichanlage Heiligenthal (Messung am 16.10.2002)

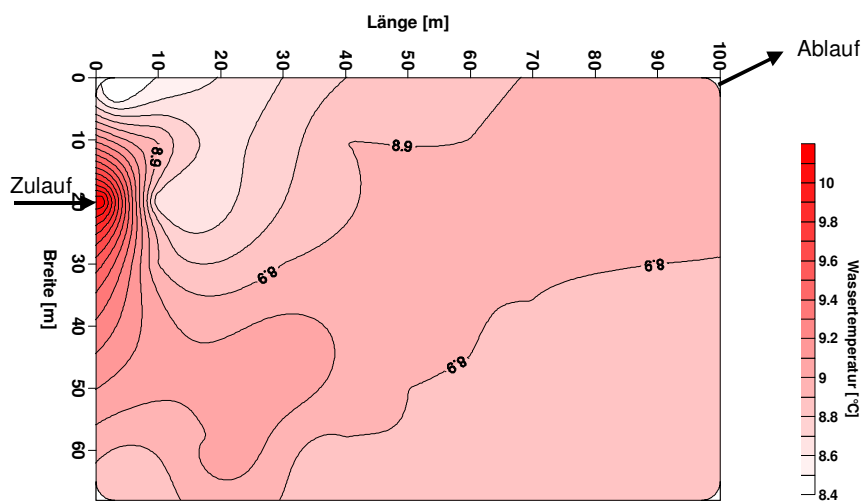


Bild 9-22: Temperaturverteilung in 10 cm Tiefe im unbelüfteten Teich der Abwasserteichanlage Heiligenthal (Messung am 16.10.2002)

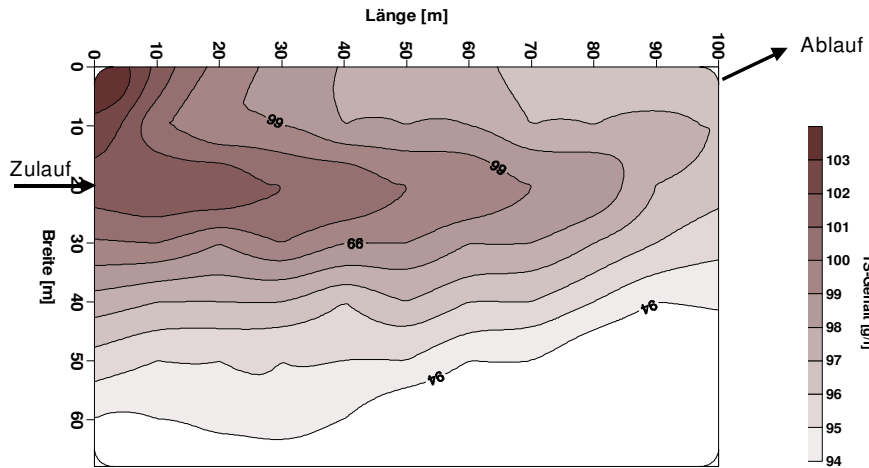


Bild 9-23: Verteilung des TS-Gehaltes im unbelüfteten Teich der Abwasserteichanlage Heiligenthal (Messung am 16.10.2002)

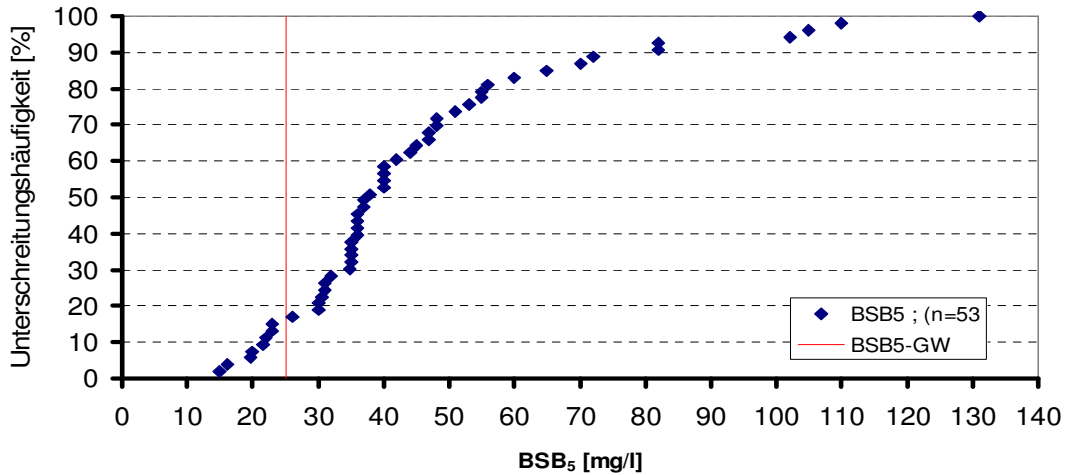


Bild 9-24: Unterschreitungshäufigkeit der BSB₅-Ablaufwerte, Anlage Heiligenthal, 1999, 2001 und 2002

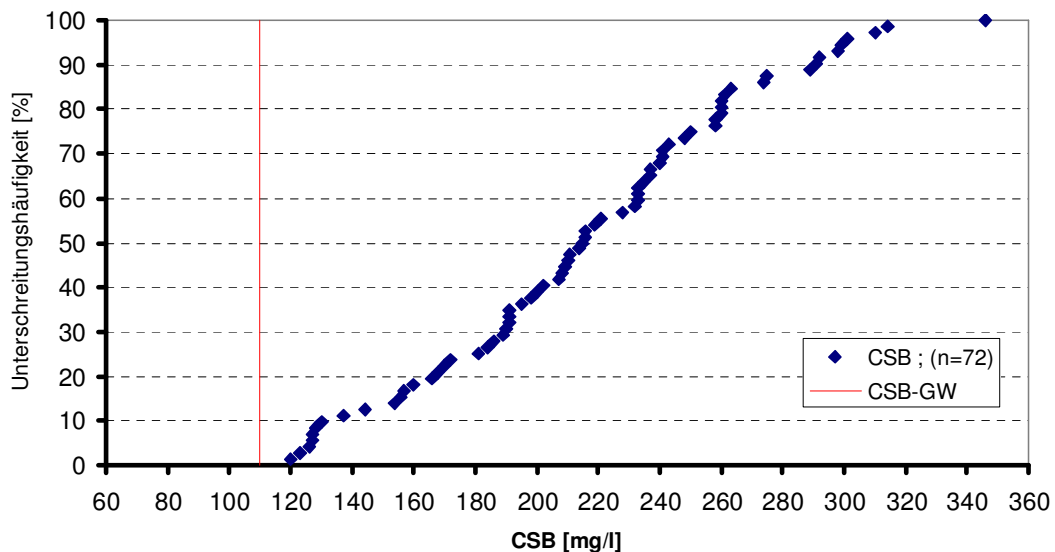


Bild 9-25: Unterschreitungshäufigkeit der CSB-Ablaufwerte, Anlage Heiligenthal, 1999, 2001 und 2002

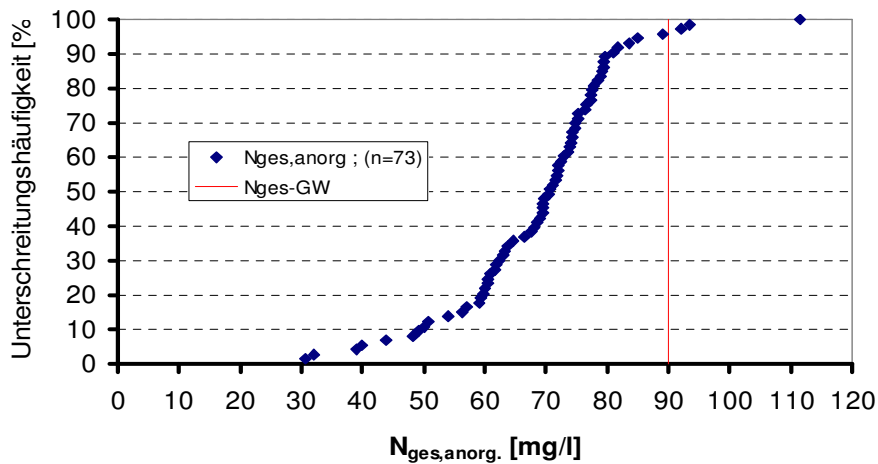


Bild 9-26: Unterschreitungshäufigkeit der N_{ges} -Ablaufwerte, Anlage Heiligenthal, 1999, 2001 und 2002

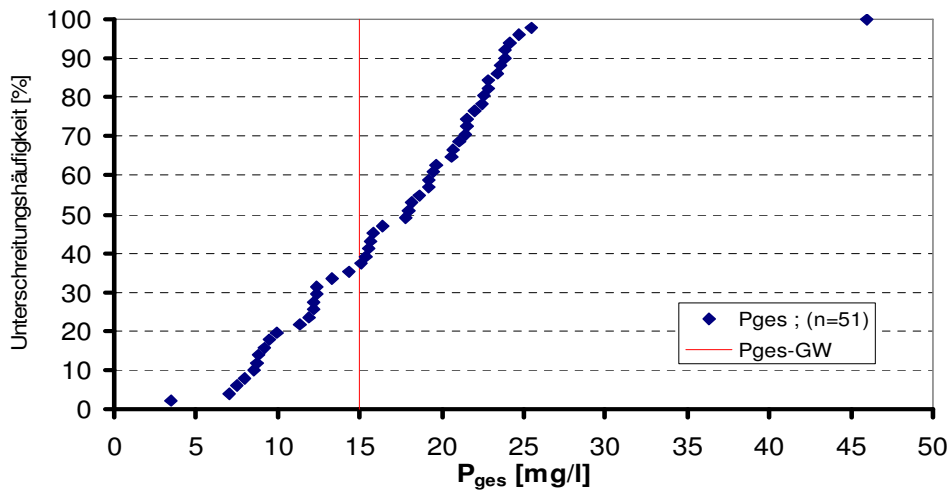


Bild 9-27: Unterschreitungshäufigkeit der P_{ges} -Ablaufwerte, Anlage Heiligenthal, 1999, 2001 und 2002

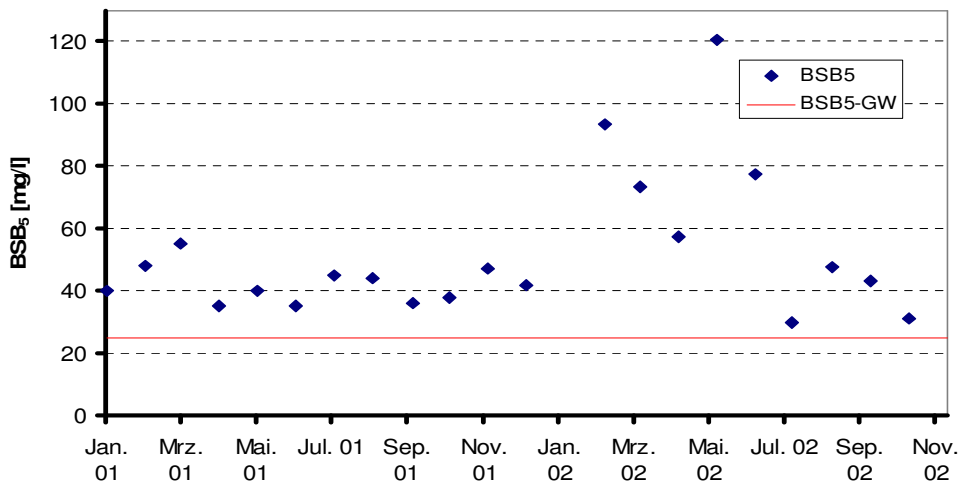


Bild 9-28: BSB_5 -Ablaufwerte, Anlage Heiligenthal, 2001 und 2002

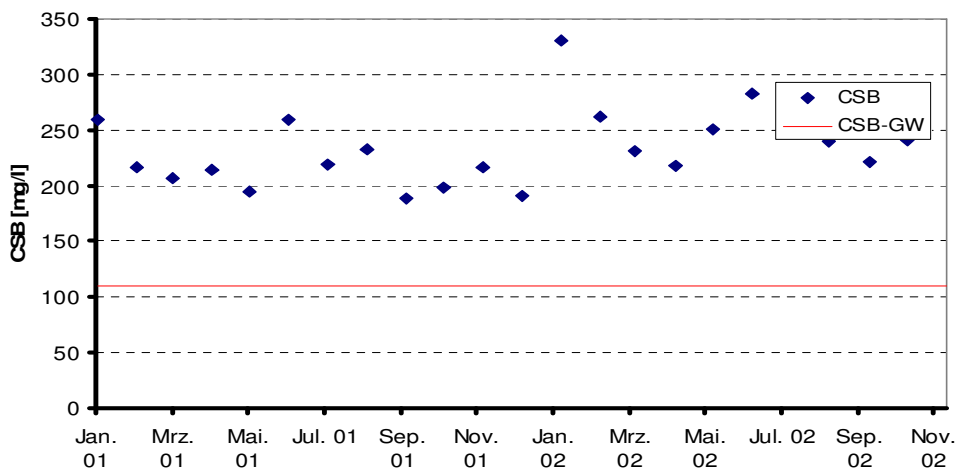
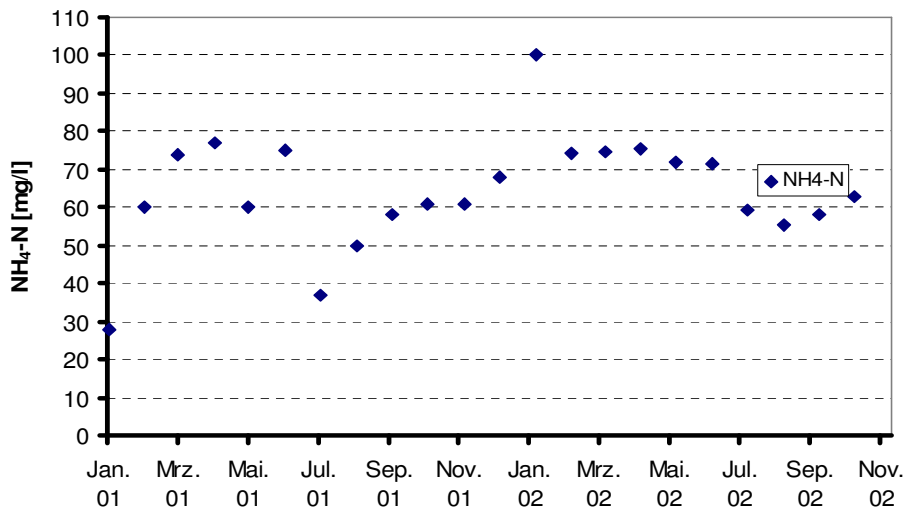
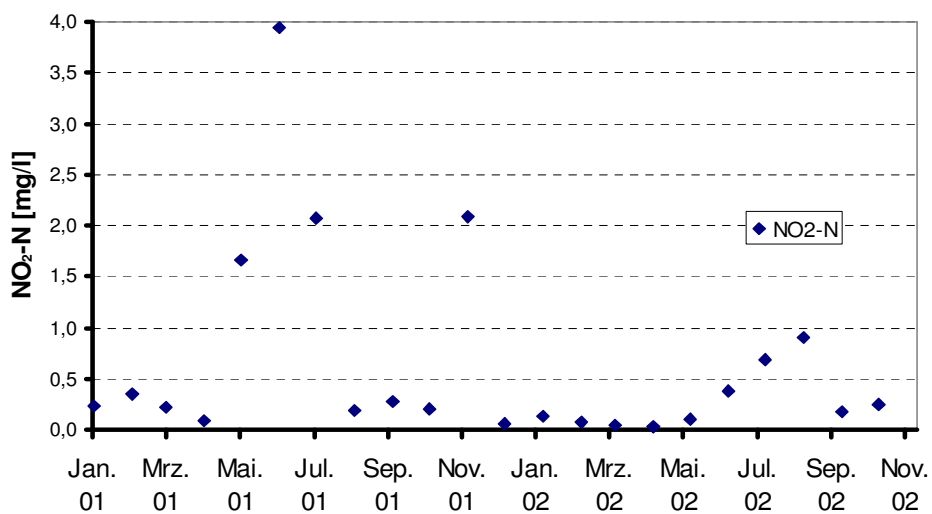


Bild 9-29: CSB-Ablaufwerte, Anlage Heiligenthal, 2001 und 2002


 Bild 9-30: NH₄-N-Ablaufwerte, Anlage Heiligenthal, 2001 und 2002

 Bild 9-31: NO₂-N-Ablaufwerte, Anlage Heiligenthal, 2001 und 2002

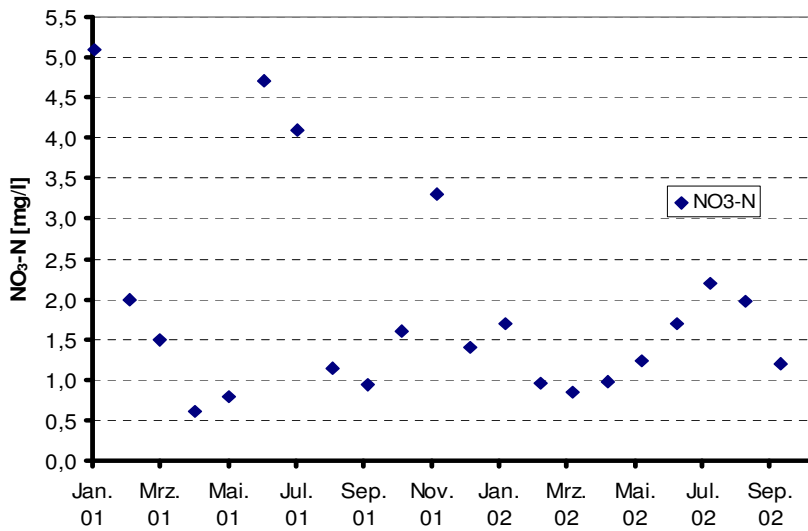


Bild 9-32: NO₃-N-Ablaufwerte, Anlage Heiligenthal, 2001 und 2002

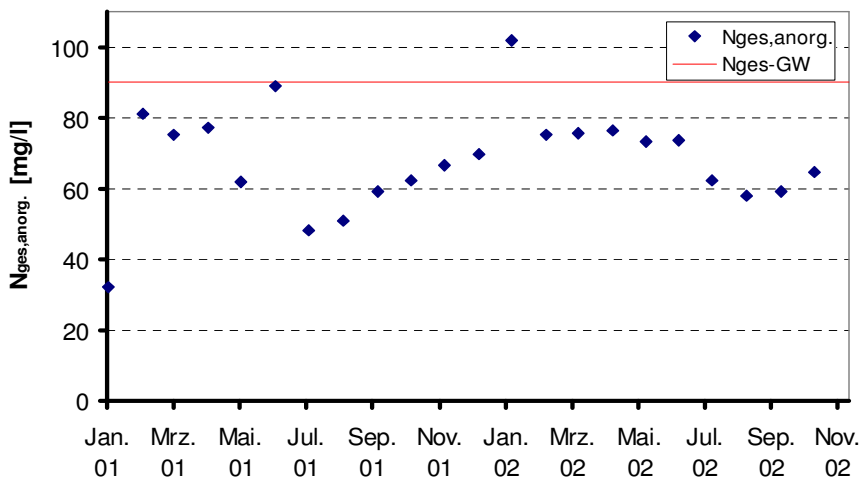


Bild 9-33: N_{ges}-Ablaufwerte, Anlage Heiligenthal, 2001 und 2002

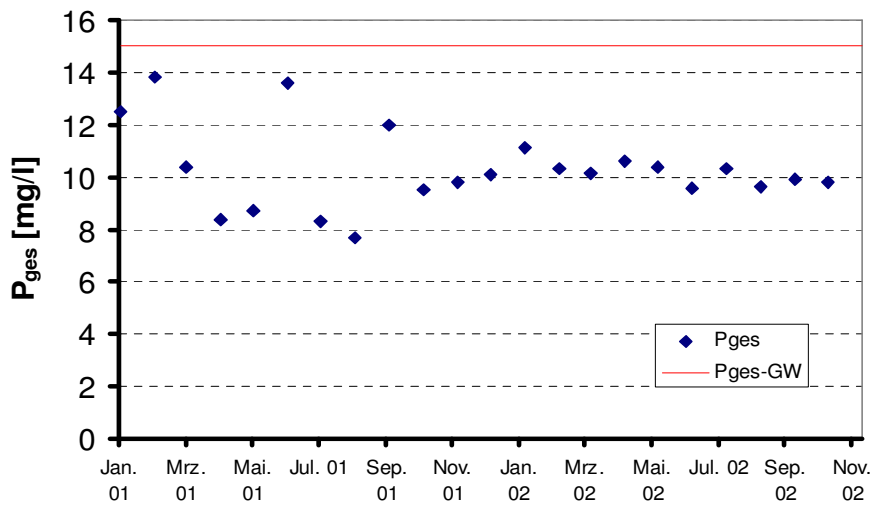


Bild 9-34: P_{ges}-Ablaufwerte, Anlage Heiligenthal, 2001 und 2002

9.3. Abwasserteichanlage Walbeck



Bild 9-35: Belüfteter Teich der Anlage Walbeck, PVC-Abdichtung



Bild 9-36: Ablauf der Anlage Walbeck, Erosionsschäden sichtbar

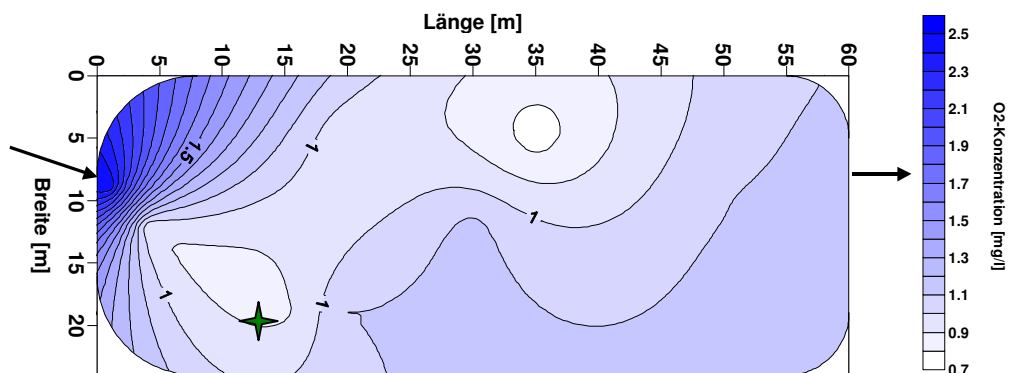


Bild 9-37: Sauerstoffverteilung in 10 cm Tiefe im belüfteten Teich der Abwasserteichanlage Walbeck (Messung am 23.10.2002)

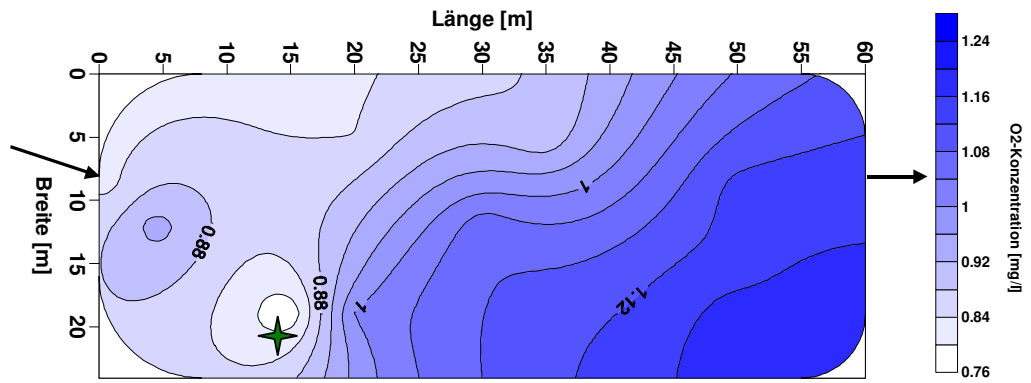


Bild 9-38: Sauerstoffverteilung im Mittel von 50 cm und 100 cm Tiefe im belüfteten Teich der Abwasserteichanlage Walbeck (Messung am 23.10.2002)

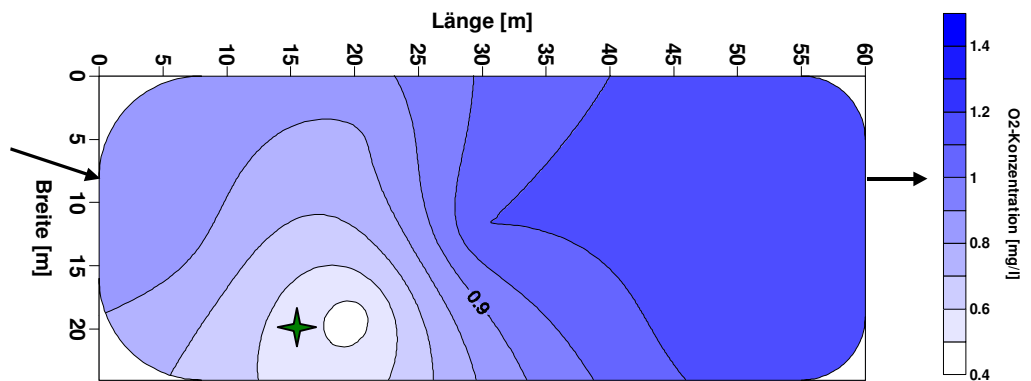


Bild 9-39: Sauerstoffverteilung in 200 cm Tiefe im belüfteten Teich der Abwasserteichanlage Walbeck (Messung am 23.10.2002)

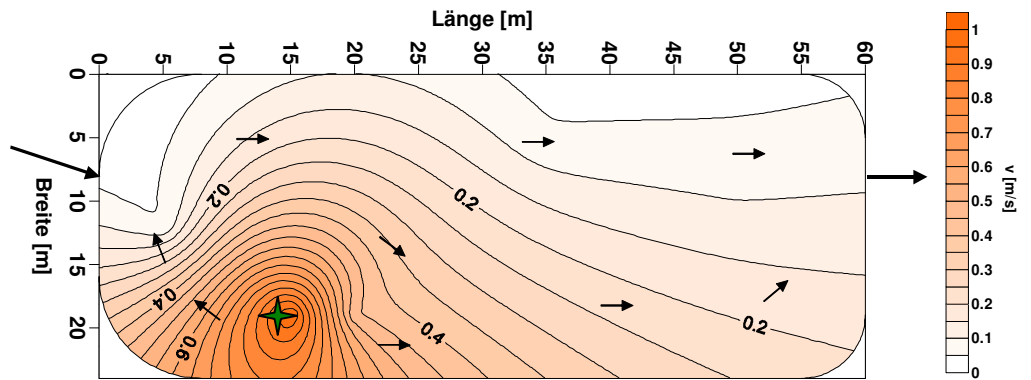


Bild 9-40: Fließgeschwindigkeitsverteilung in 10 cm Tiefe im belüfteten Teich der Abwasserteichanlage Walbeck (Messung am 23.10.2002)

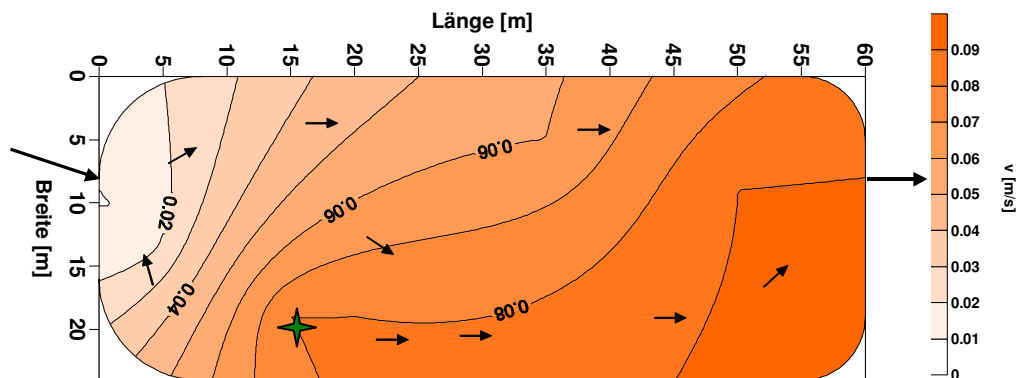


Bild 9-41: Fließgeschwindigkeitsverteilung in 50 cm Tiefe im belüfteten Teich der Abwasserteichanlage Walbeck (Messung am 23.10.2002)

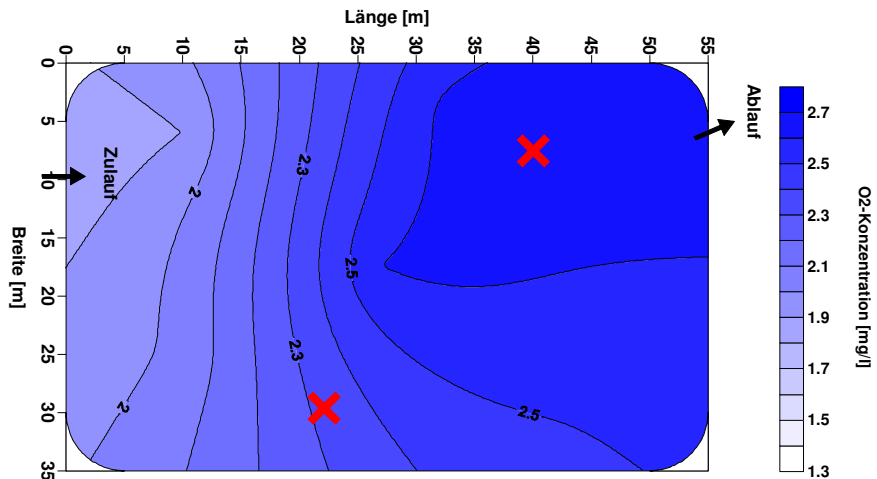


Bild 9-42: Sauerstoffverteilung in 10 cm Tiefe im 1. Nachklärteich der Abwasserteichanlage Walbeck (Messung am 23.10.2002)

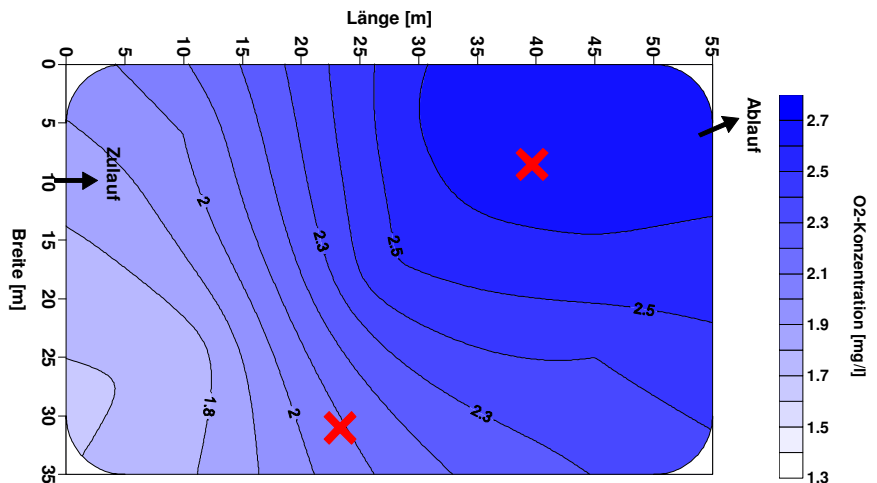


Bild 9-43: Sauerstoffverteilung in 50 cm Tiefe im 1. Nachklärteich der Abwasserteichanlage Walbeck (Messung am 23.10.2002)

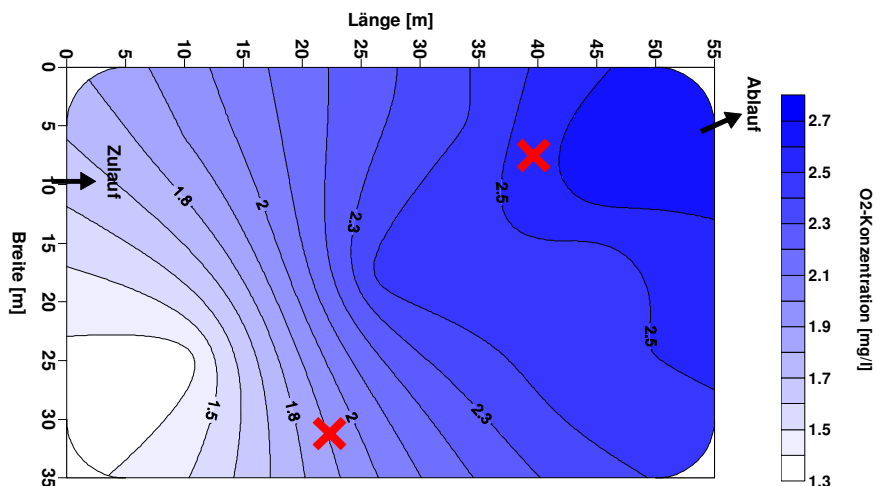


Bild 9-44: Sauerstoffverteilung in 100 cm Tiefe im 1. Nachklärteich der Abwasserteichanlage Walbeck (Messung am 23.10.2002)

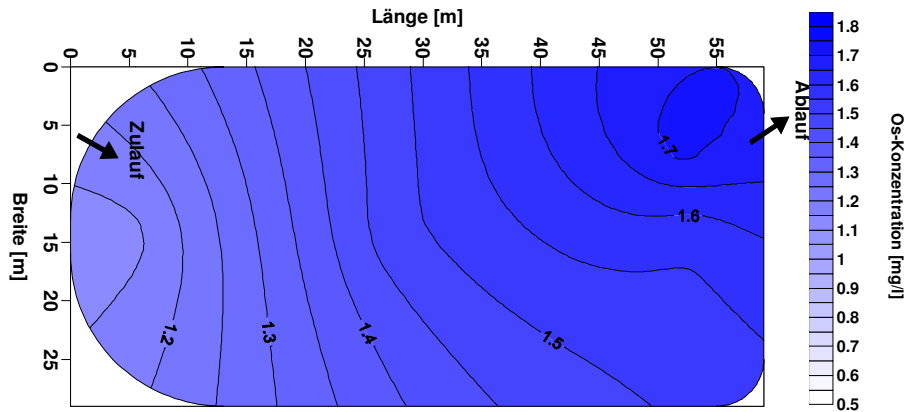


Bild 9-45: Sauerstoffverteilung in 50 cm Tiefe im 2. Nachklärteich der Abwasserteichanlage Walbeck (Messung am 23.10.2002)

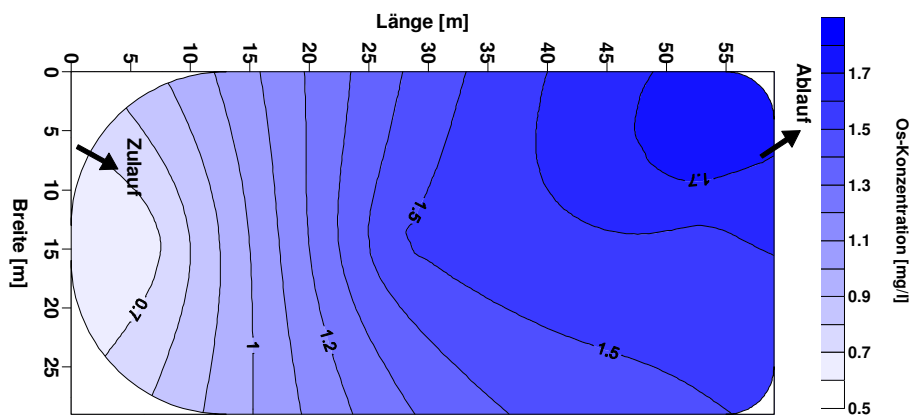


Bild 9-46: Sauerstoffverteilung in 100 cm Tiefe im 2. Nachklärteich der Abwasserteichanlage Walbeck (Messung am 23.10.2002)

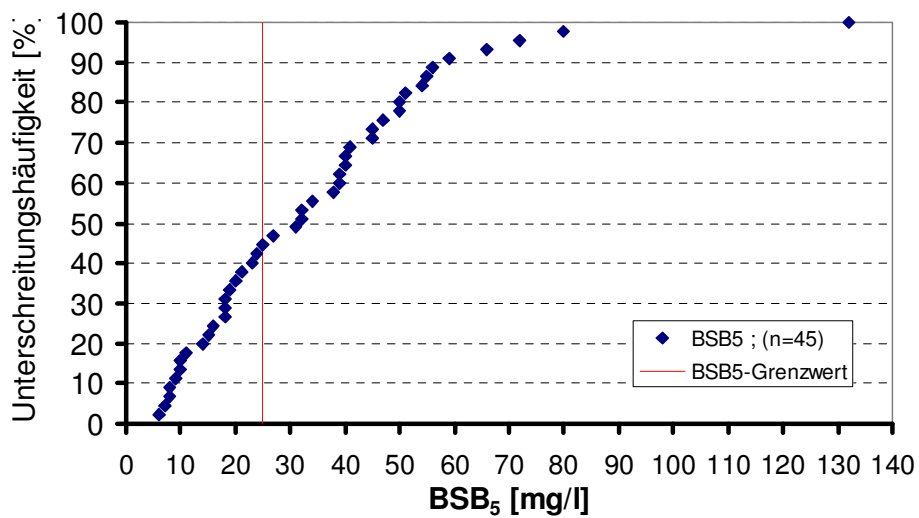


Bild 9-47: Unterschreitungshäufigkeit der BSB₅-Ablaufwerte, Anlage Walbeck, 1999-2001

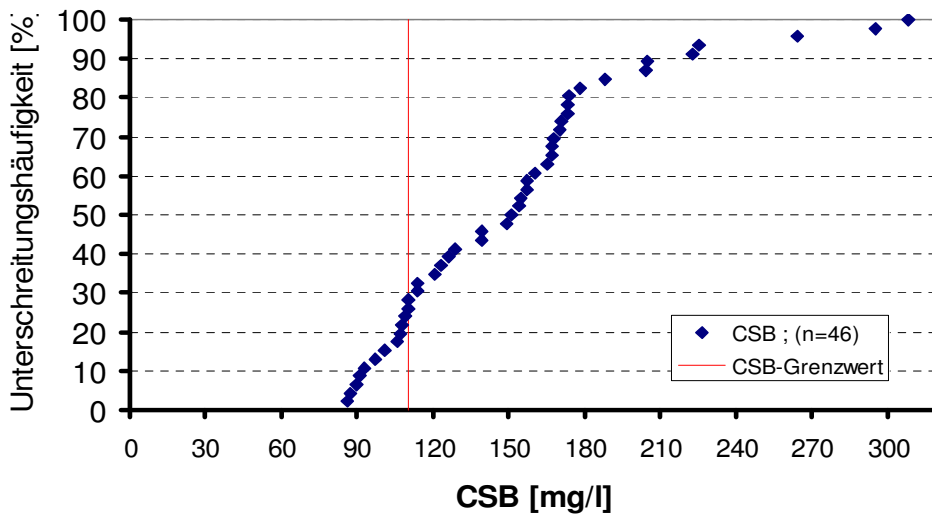
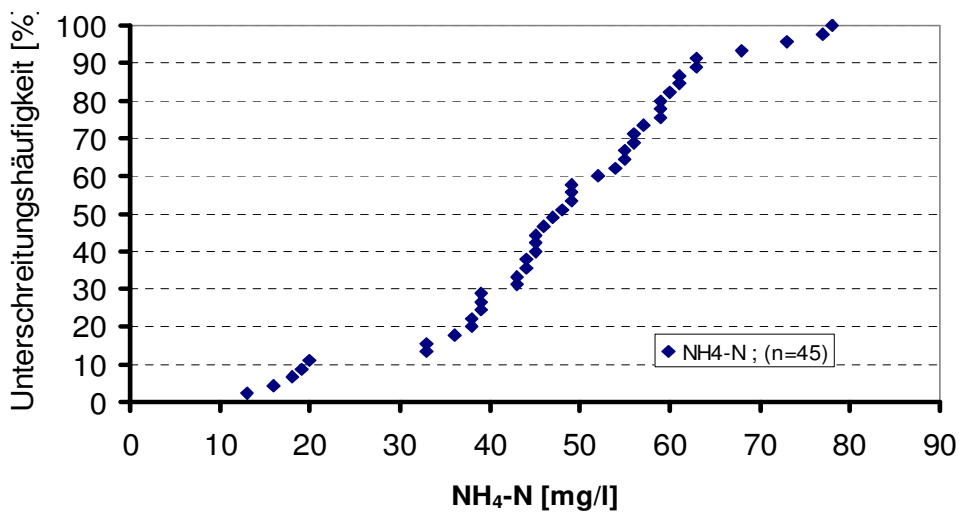
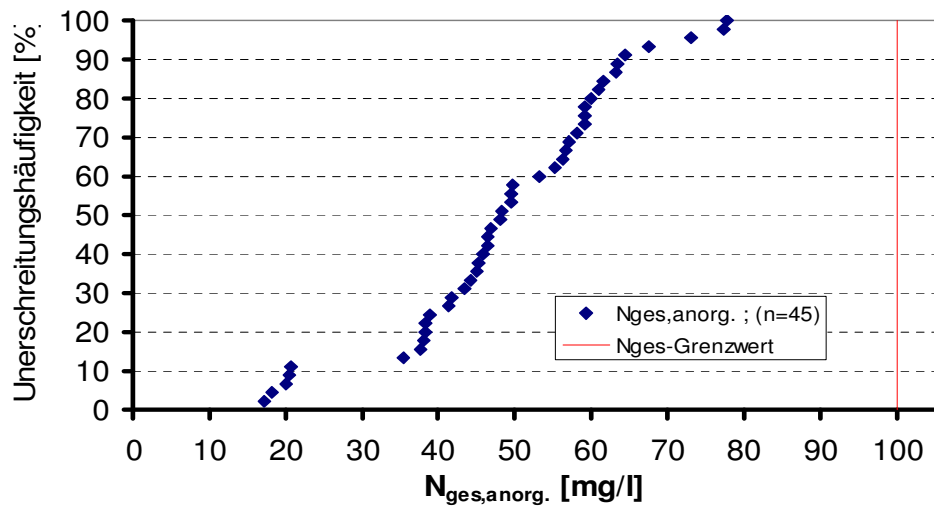


Bild 9-48: Unterschreitungshäufigkeit der CSB-Ablaufwerte, Anlage Walbeck, 1999-2001


 Bild 9-49: Unterschreitungshäufigkeit der NH₄-N-Ablaufwerte, Anlage Walbeck, 1999-2001

 Bild 9-50: Unterschreitungshäufigkeit der N_{ges}-Ablaufwerte, Anlage Walbeck, 1999-2001

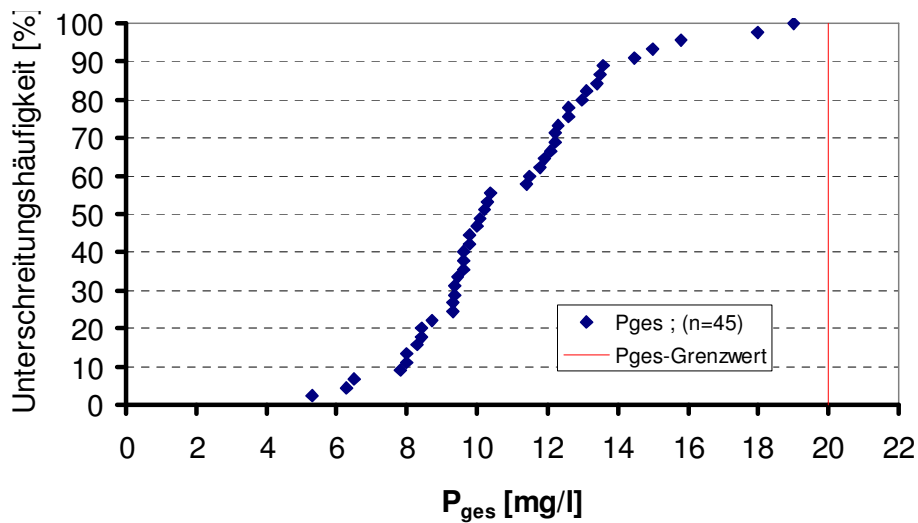


Bild 9-51: Unterschreitungshäufigkeit der P_{ges} -Ablaufwerte, Anlage Walbeck, 1999-2001

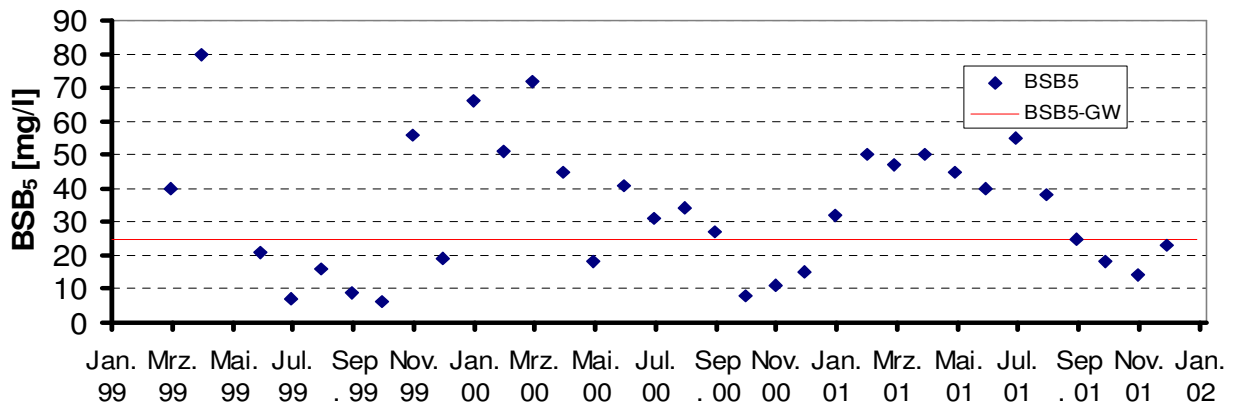


Bild 9-52: BSB₅-Ablaufwerte, Anlage Walbeck, 1999-2001

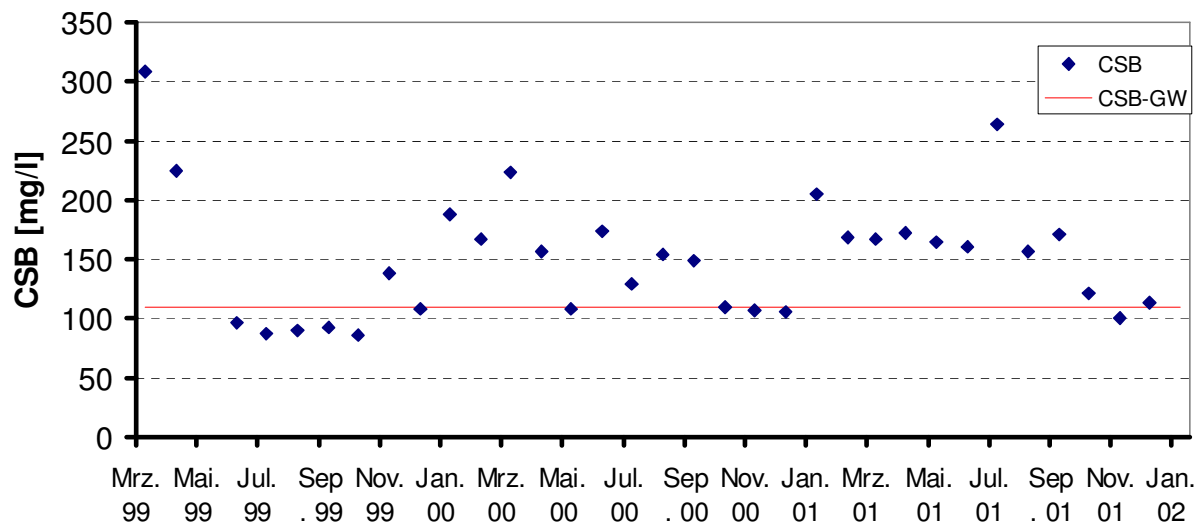
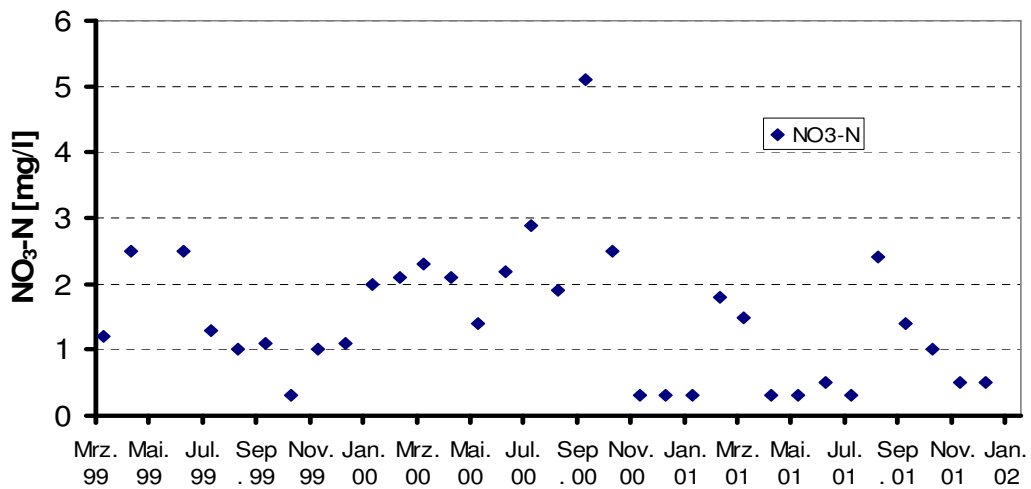
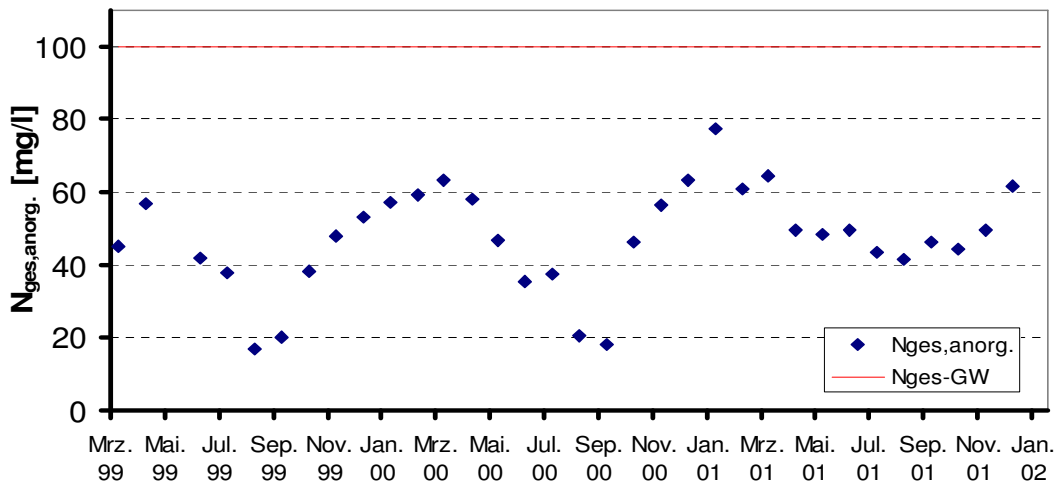
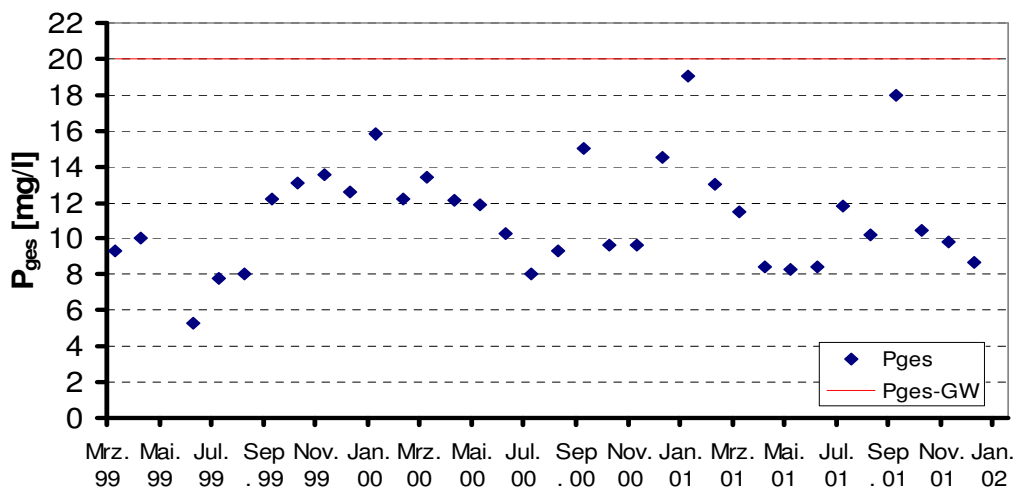


Bild 9-53: CSB-Ablaufwerte, Anlage Walbeck, 1999-2001


 Bild 9-54: NO₃-N-Ablaufwerte, Anlage Walbeck, 1999-2001

 Bild 9-55: N_{ges}-Ablaufwerte, Anlage Walbeck, 1999-2001

 Bild 9-56: P_{ges}-Ablaufwerte, Anlage Walbeck, 1999-2001

9.4. Abwasserteichanlage Warnstedt



Bild 9-57: Belüfteter Teich der Anlage Warnstedt



Bild 9-58: Ablauf des belüfteten Teiches der Anlage Warnstedt



Bild 9-59: Zulauf des Schönungsteiches der Anlage Warnstedt

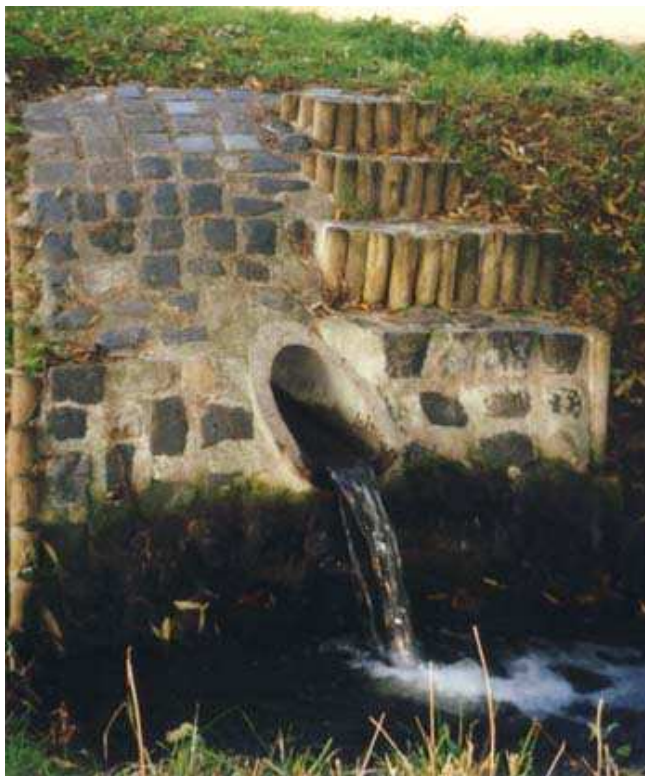


Bild 9-60: Ablaufbauwerk der Anlage Warnstedt

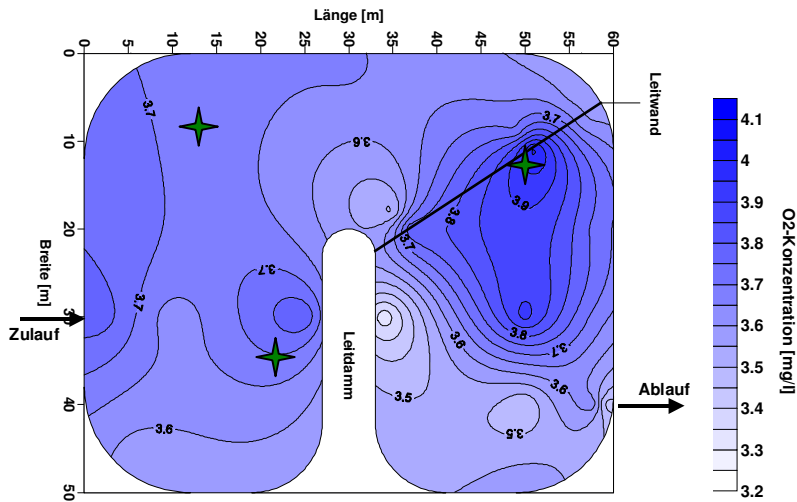


Bild 9-61: Sauerstoffverteilung in 10 cm Tiefe im belüfteten Teich der Abwasserteichanlage Warnstedt (Messung am 24.10.2002)

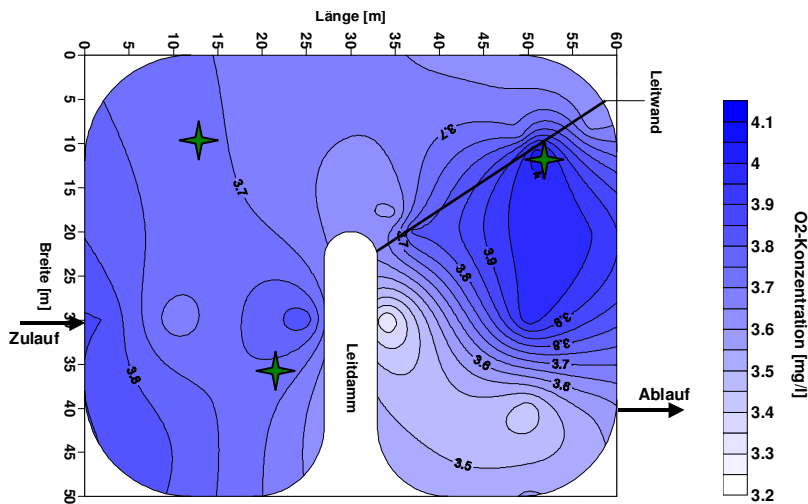


Bild 9-62: Sauerstoffverteilung in 50 cm Tiefe im belüfteten Teich der Abwasserteichanlage Warnstedt (Messung am 24.10.2002)

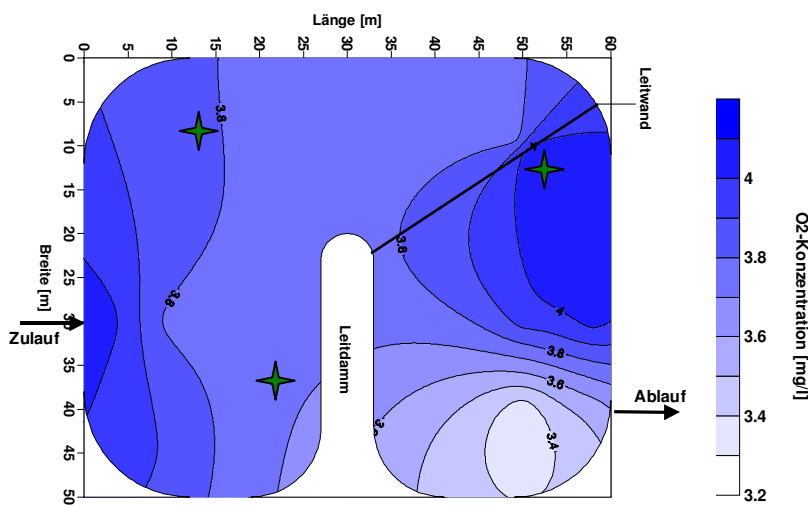


Bild 9-63: Sauerstoffverteilung in 100 cm Tiefe im belüfteten Teich der Abwasserteichanlage Warnstedt (Messung am 24.10.2002)

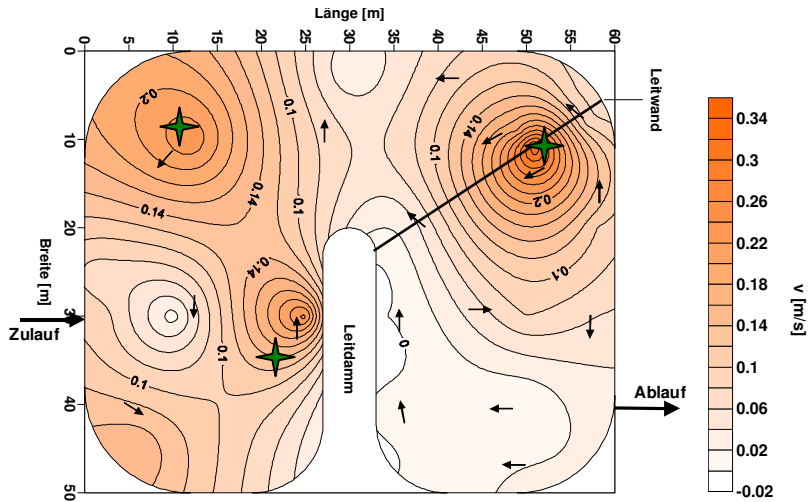


Bild 9-64: Fließgeschwindigkeitsverteilung in 10 cm Tiefe im belüfteten Teich der Abwasserteichanlage Warnstedt (Messung am 24.10.2002)

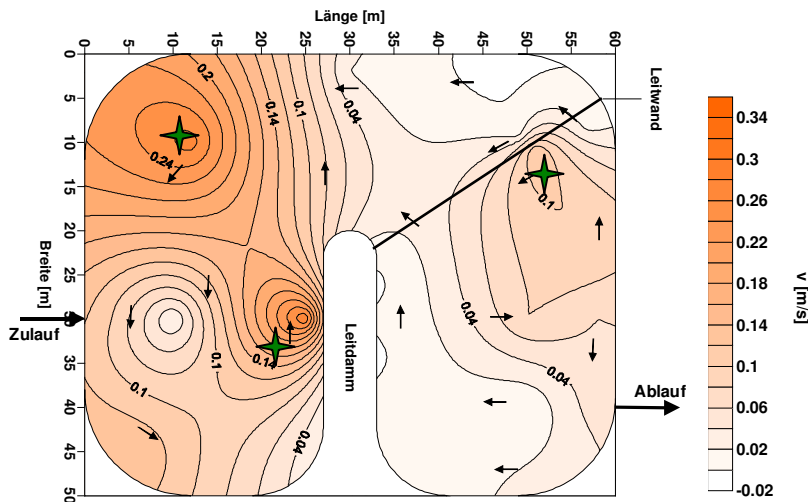


Bild 9-65: Fließgeschwindigkeitsverteilung in 10 cm Tiefe im belüfteten Teich der Abwasserteichanlage Warnstedt (Messung am 24.10.2002)

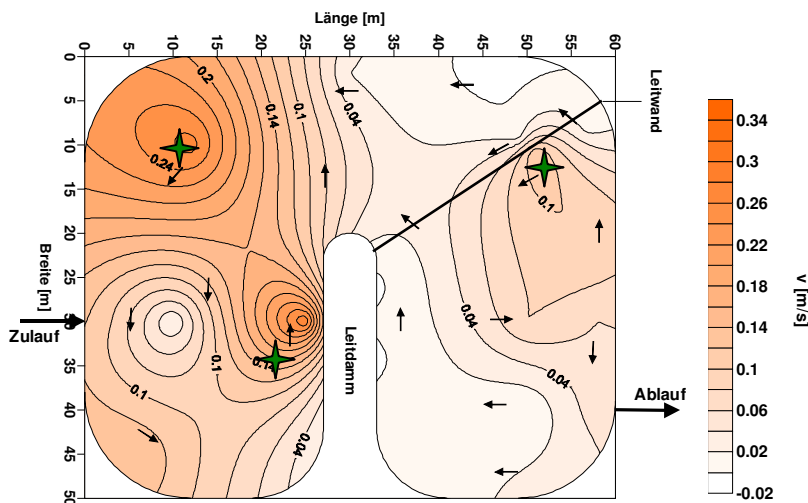


Bild 9-66: Fließgeschwindigkeitsverteilung in 50 cm Tiefe im belüfteten Teich der Abwasserteichanlage Warnstedt (Messung am 24.10.2002)

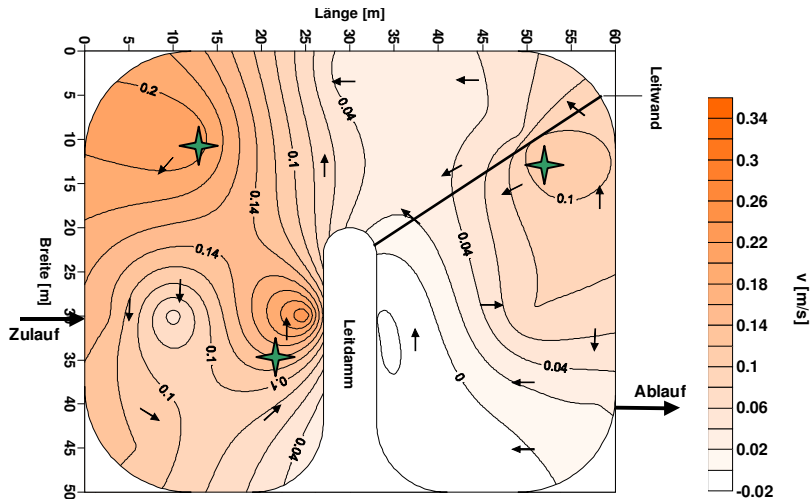


Bild 9-67: Fließgeschwindigkeitsverteilung in 100 cm Tiefe im belüfteten Teich der Abwasserteichanlage Warnstedt (Messung am 24.10.2002)

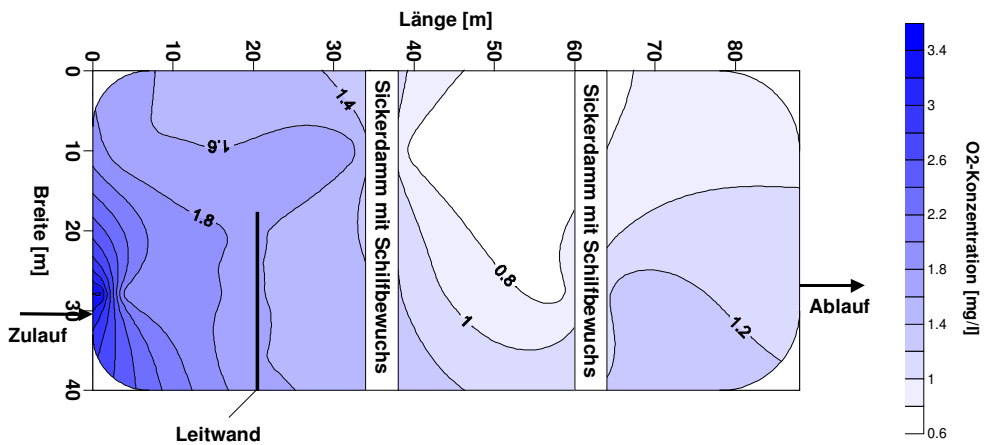


Bild 9-68: Sauerstoffverteilung in 10 cm Tiefe im Schönungsteich der Abwasserteichanlage Warnstedt (Messung am 24.10.2002)

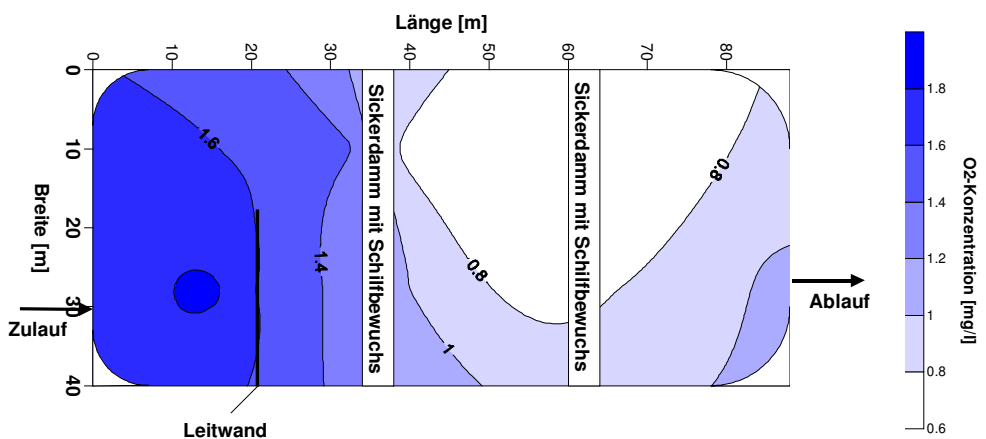


Bild 9-69: Sauerstoffverteilung in 50 cm Tiefe im Schönungsteich der Abwasserteichanlage Warnstedt (Messung am 24.10.2002)

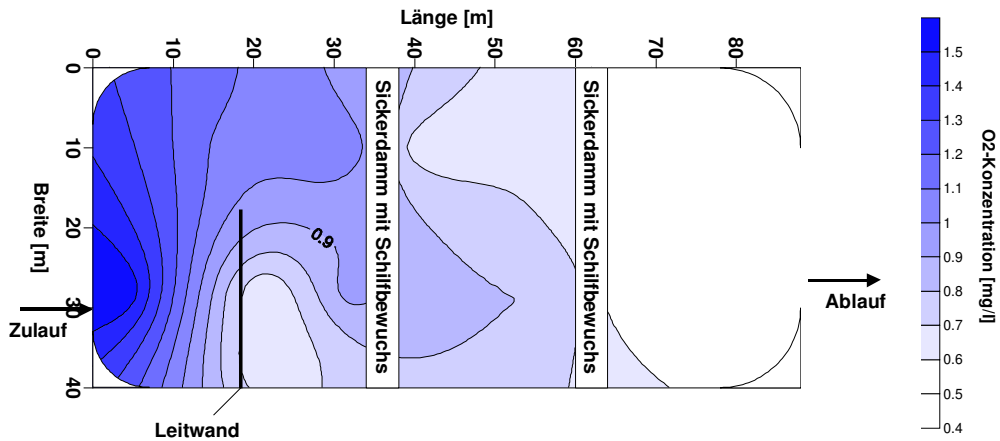


Bild 9-70: Sauerstoffverteilung in 100 cm Tiefe im Schönungsteich der Abwasserteichanlage Warnstedt (Messung am 24.10.2002)

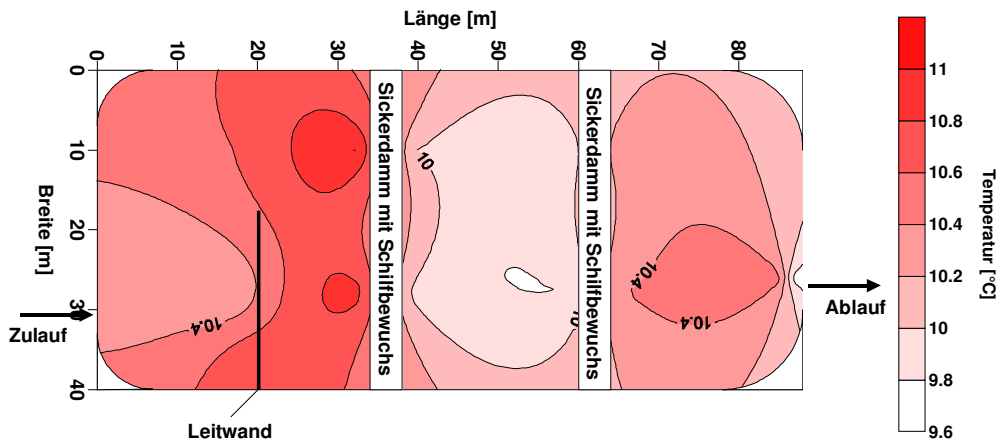


Bild 9-71: Temperaturverteilung im Schönungsteich der Abwasserteichanlage Warnstedt (Messung am 24.10.2002)

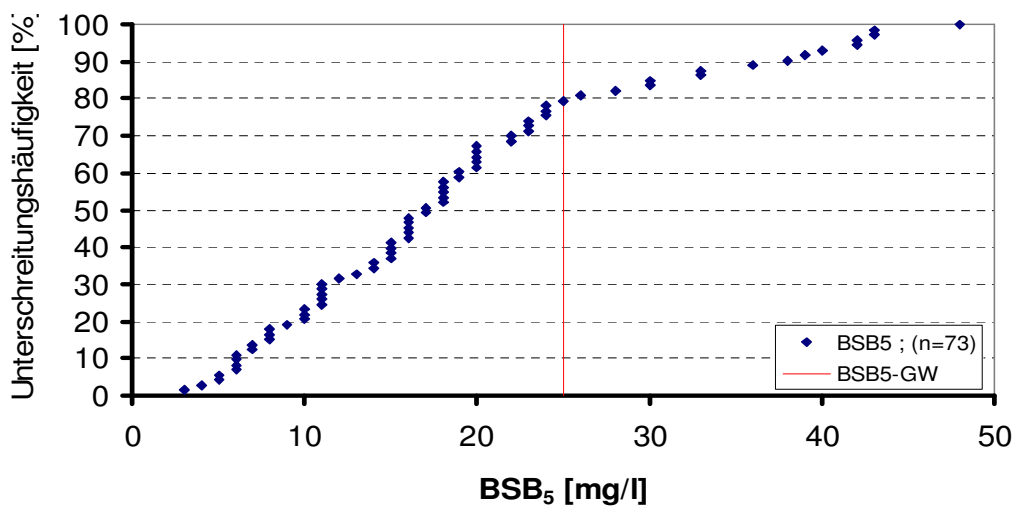


Bild 9-72: Unterschreitungshäufigkeit der BSB₅-Ablaufwerte, Anlage Warnstedt, 1998-2002

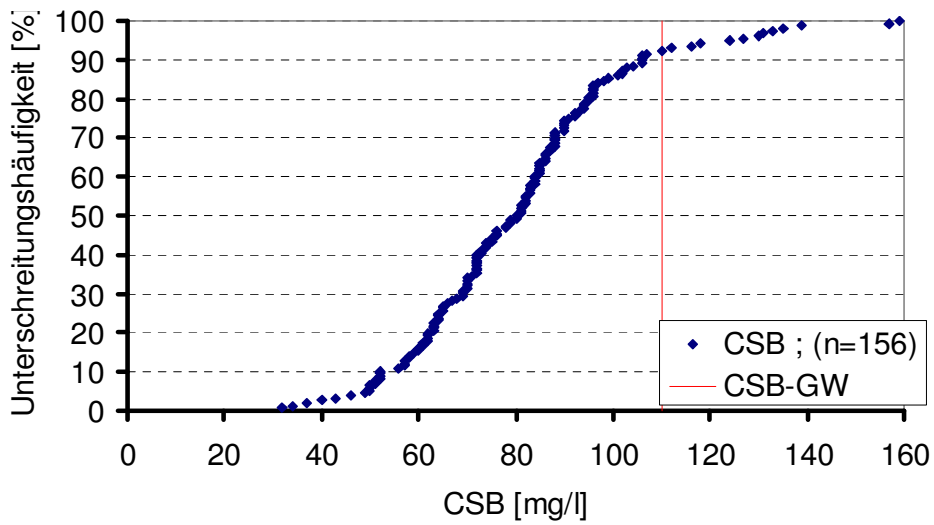
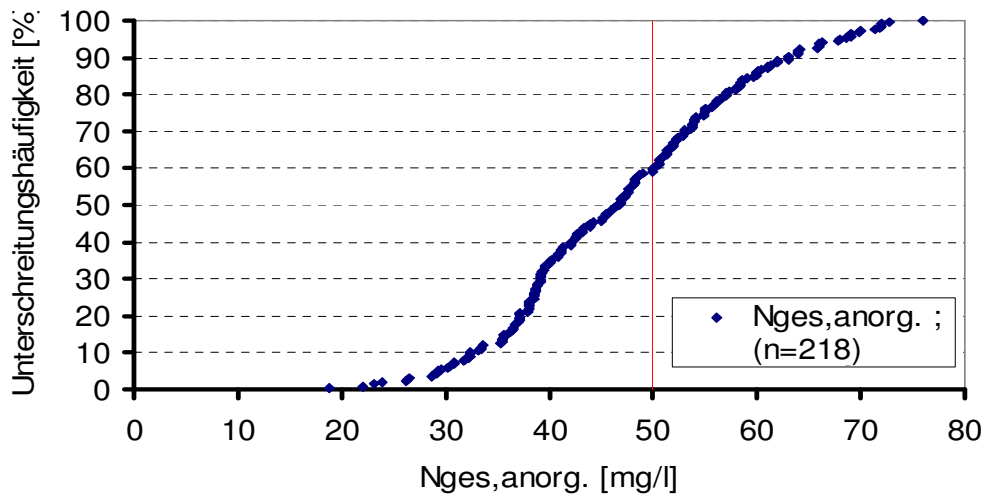
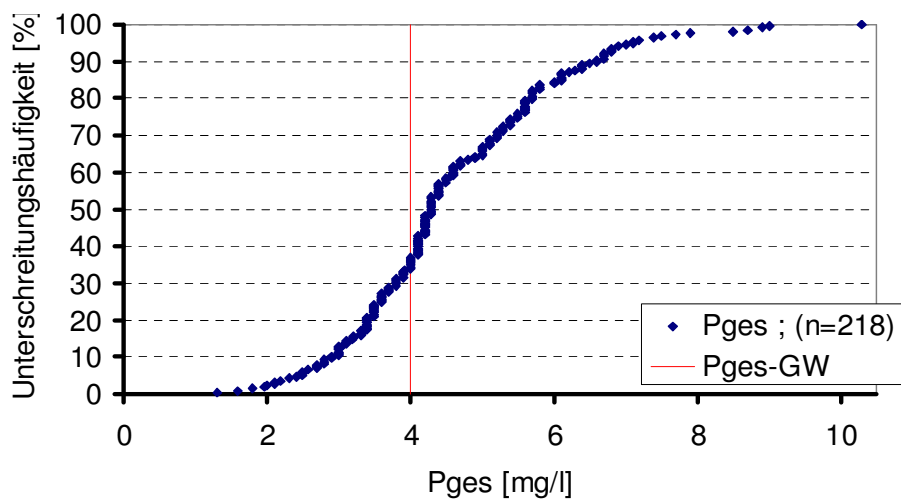


Bild 9-73: Unterschreitungshäufigkeit der CSB-Ablaufwerte, Anlage Warnstedt, 1998-2002


 Bild 9-74: Unterschreitungshäufigkeit der N_{ges} -Ablaufwerte, Anlage Warnstedt, 1998-2002

 Bild 9-75: Unterschreitungshäufigkeit der P_{ges} -Ablaufwerte, Anlage Warnstedt, 1998-2002

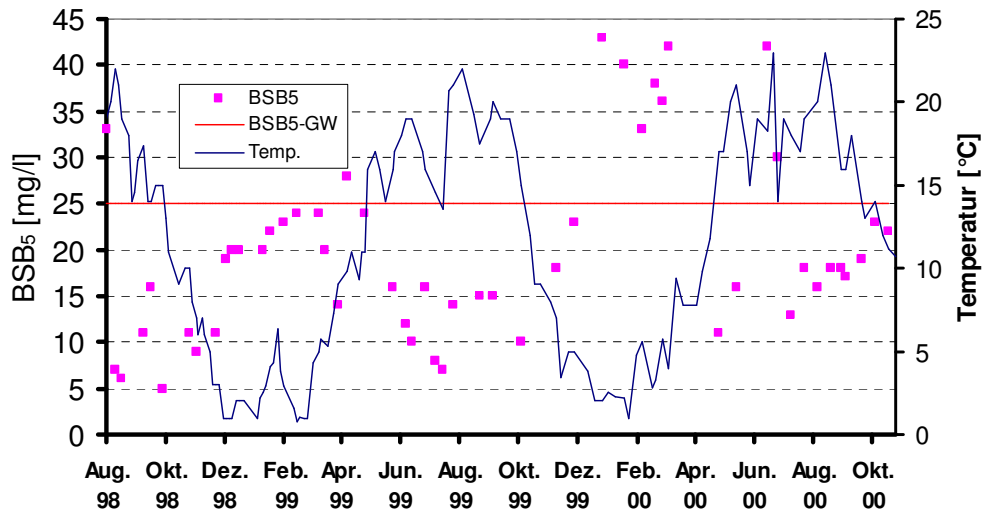
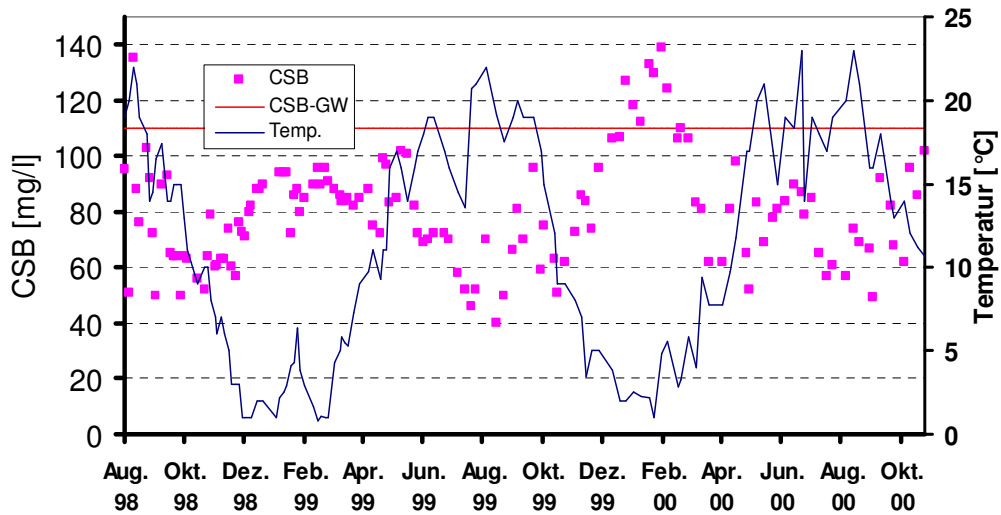
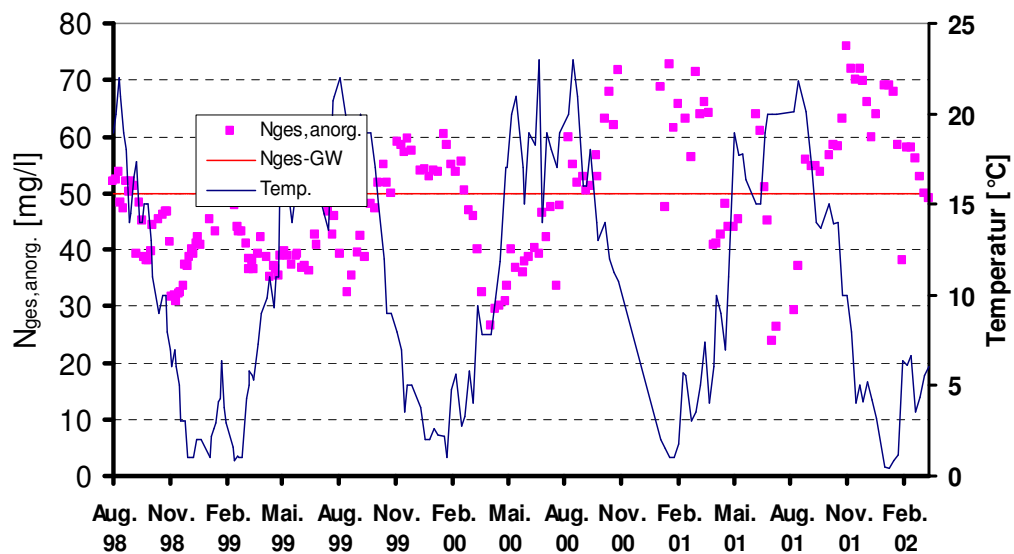

 Bild 9-76: BSB₅-Ablaufwerte, Anlage Warnstedt, 1998 – 2000


Bild 9-77: CSB-Ablaufwerte, Anlage Warnstedt, 1998 – 2000


 Bild 9-78: N_{ges}-Ablaufwerte, Anlage Warnstedt, 1998 – 2002

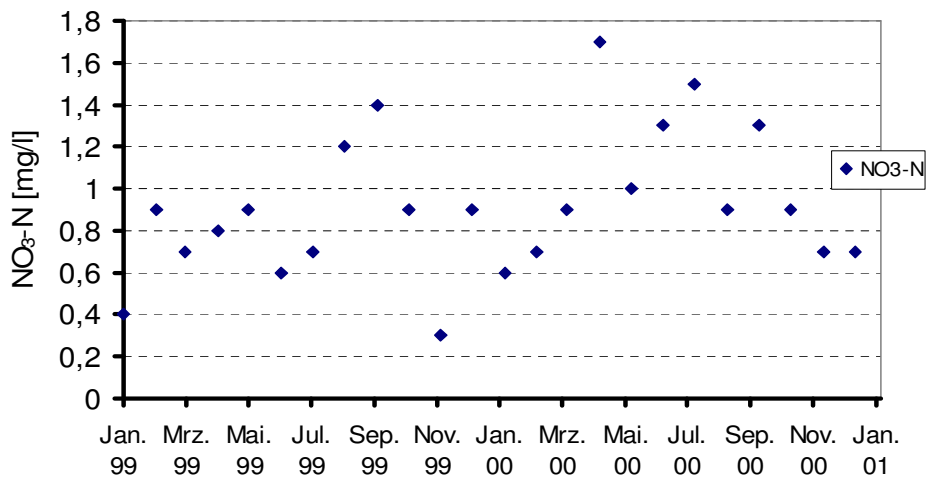


Bild 9-79: NO₃-N-Ablaufwerte, Anlage Warnstedt, 1999 – 2000

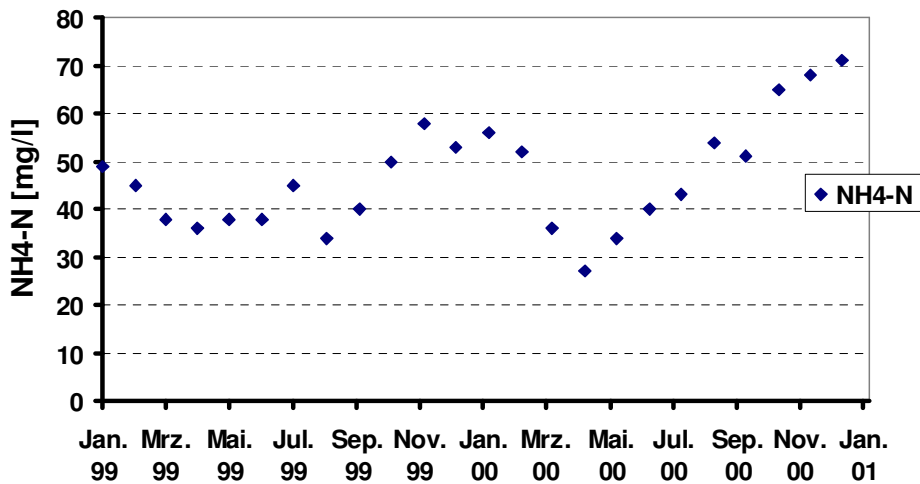


Bild 9-80: NH₄-N-Ablaufwerte, Anlage Warnstedt, 1999 – 2000

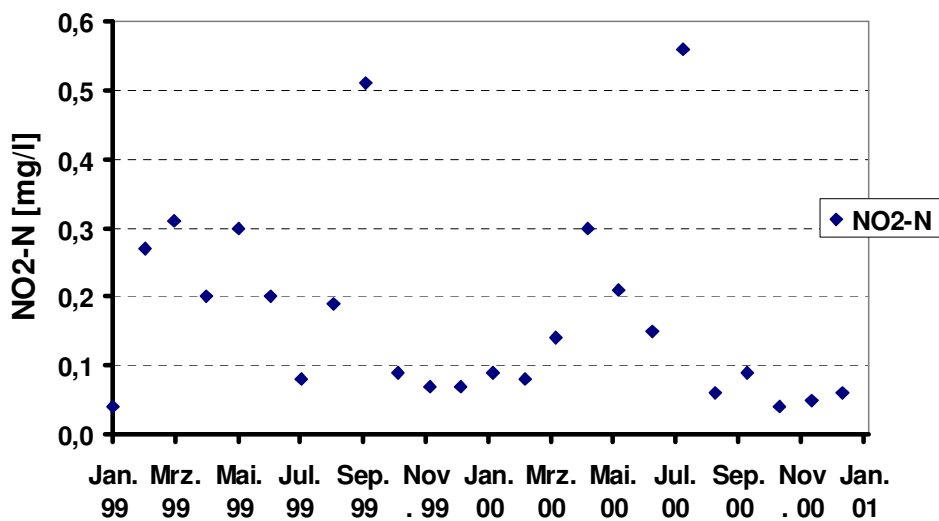


Bild 9-81: NO₂-N-Ablaufwerte, Anlage Warnstedt, 1999 – 2000

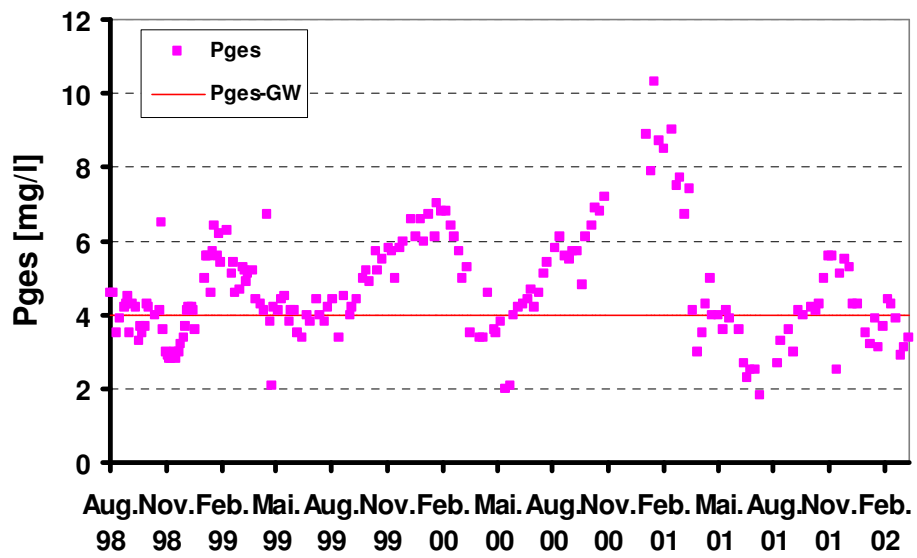


Bild 9-82: P_{ges} -Ablaufwerte, Anlage Warnstedt, 1998 – 2002

Zeichenerklärung:
Belüfter (in Betrieb)

